

www.arsanjan.blogfa.com



فیزیک کوانتومی



استیوان گارپورویچ

ترجمہ: محی الدین شیخ الاسلام

فیزیک کو انتومی

استیون گازیورویچ

ترجمہ محی الدین شیخ الاسلامی

مرکز نشر دانشگاهی، تهران



Quantum Physics
 Stephen Gasiorowicz
 Second Edition
 John Wiley & Sons, 1996

فیزیک کوانتومی
 تألیف استیون گازیورویچ
 ترجمه محی الدین شیخ الاسلامی
 ویراسته دکتر منیژه رهبر
 نسخه پرداز: زهرا رحیمدل قادر
 حروفچین: پروین حاج اسماعیل زنجانی
 مرکز نشر دانشگاهی، تهران
 چاپ اول ۱۳۷۸
 چاپ پنجم ۱۳۸۴
 تعداد ۴۰۰۰
 چاپ: محمدامین
 حق چاپ برای مرکز نشر دانشگاهی محفوظ است

فهرست نویسی پیش از انتشار کتابخانه ملی جمهوری اسلامی ایران

گازیورویچ، استیون، ۱۹۲۸ -
 فیزیک کوانتومی / استیون گازیورویچ؛ ترجمه محی الدین شیخ الاسلامی؛ ویراسته
 منیژه رهبر - تهران: مرکز نشر دانشگاهی، ۱۳۷۸.
 چهار، ۵۹۹ ص. : مصور، جدول، نمودار. - (مرکز نشر دانشگاهی؛ ۹۵۲. فیزیک؛ ۸۷)
 ISBN 964-01-0952-5

فهرست نویسی بر اساس اطلاعات فیبا.
 عنوان اصلی:
 Quantum Physics, 2nd ed. 1996.
 این کتاب با ناشران و مترجمان مختلف در سالهای متفاوت نیز منتشر شده است.
 واژنامه.
 کتابنامه.
 نمایه.
 چاپ پنجم: ۱۳۸۴.
 ۱. کوانتوم، الف. شیخ الاسلامی، محی الدین، مترجم. ب. مرکز نشر دانشگاهی. ج. عنوان.
 ۵۳۰/۱۲
 QC۱۷۴/۱۲/گ۲/ف۹
 کتابخانه ملی ایران
 ۷۸ - ۱۵۵۰۶

بِسْمِ اللّٰهِ الرَّحْمٰنِ الرَّحِیْمِ

فهرست

صفحه	عنوان
۱	پیشگفتار ویرایش اول
۳	پیشگفتار ویرایش دوم
۵	۱. محدودیتهای فیزیک کلاسیک
۳۶	۲. بسته‌های موج و رابطه‌های عدم قطعیت
۵۳	۳. معادله موج شرودینگر و تعبیر احتمالاتی
۶۹	۴. ویژه‌تابعها و ویژه‌مقدارها
۹۴	۵. پتانسیلهای یک‌بعدی
۱۴۴	۶. ساختار کلی مکانیک موجی
۱۶۵	۷. روشهای عملگری در مکانیک کوانتومی
۱۸۶	۸. دستگاههای N ذره‌ای
۲۰۵	۹. معادله شرودینگر در سه‌بعد (۱)
۲۱۵	۱۰. معادله شرودینگر در سه‌بعد (۲)
۲۴۰	۱۱. تکانه زاویه‌ای
۲۶۰	۱۲. اتم هیدروژن
۲۷۵	۱۳. برهم‌کنش الکترون با میدان الکترومغناطیسی
۳۰۱	۱۴. عملگرها، ماتریسها، و اسپین
۳۲۴	۱۵. جمع تکانه‌های زاویه‌ای
۳۴۱	۱۶. نظریه اختلال مستقل از زمان
۳۵۸	۱۷. اتم هیدروژن واقعی
۳۷۴	۱۸. اتم هلیم

۳۹۴	۱۹. ساختار اتمها
۴۱۲	۲۰. مولکولها
۴۳۴	۲۱. تابش اتمی
۴۶۶	۲۲. مباحث برگزیده در نظریه تابش
۴۹۳	۲۳. نظریه برخورد
۵۲۸	۲۴. جذب تابش در ماده
۵۴۳	پیوست الف: انتگرال فوریه و نواع دلتا
۵۵-	پیوست ب: عملگرها
۵۵۷	مبحث ویژه ۱: سینماتیک نسبیتی
۵۶۲	مبحث ویژه ۲: عملگر چگالی
۵۶۹	مبحث ویژه ۳: تقریب و نترنل-کرامرز-بریلونن
۵۷۳	مبحث ویژه ۴: طول عمر، پهنای خط، و تشدید
۵۸۲	ثابت‌های فیزیکی
۵۸۳	مراجع
۵۹۰	فهرست راهنما

پیشگفتار ویرایش اول

این کتاب را می‌توان درآمدی بر فیزیک کوانتومی دانست. در نگارش آن، چند نکته را به‌عنوان راهنما در نظر داشته‌ام.

۱. پیش از هر چیز، برای ایجاد درک شهودی در هر رشته جدیدی بهتر است که مطالعه آن با مبنایی از شناخت مشروح دستگاه‌های ساده شروع شود. به همین دلیل، تعدادی از مسائل را با تفصیل بسیار حل کرده‌ام، به طوری که بینش حاصل از آن را می‌توان برای دستگاه‌های پیچیده‌تر به‌کار برد.

۲. هر جنبه‌ای از مکانیک کوانتومی در درک دست‌کم یکی از پدیده‌های فیزیکی مفید بوده است. در هر مرحله از شرح و بسط موضوع، روی کاربردها تأکید کرده‌ام. اگرچه هیچ مبحثی از فیزیک کوانتومی به‌طور کامل تشریح نشده است، اما هدف من پرکردن فاصله میان درس فیزیک نوین و بین صورتی‌تر مکانیک کوانتومی است. از این رو، کاربردهای بسیاری را بررسی کرده‌ام، و بر برآورد مرتبه بزرگی و اهمیت اعداد تأکید کرده‌ام.

۳. برای حفظ تعادل با سطح فیزیکی کتاب، ساختار ریاضی را تا حد امکان ساده گرفته‌ام. مفاهیم جدید، مانند عملگرها، و ابزارهای ریاضی جدید الزاماً ظاهر می‌شوند. عملگرها را بیشتر با استفاده از تشابه، به‌جای تعریف دقیق، بررسی کرده‌ام، و استفاده از ابزارهای ریاضی جدید را تا جایی که امکان داشته است به حداقل رسانده‌ام.

در رهیافت به نظریه کوانتومی، مکانیک موجی و معادله شرودینگر را برای شروع انتخاب کرده‌ام. اگرچه با رهیافت بردار حالت سریع‌تر می‌توان به ساختار اساسی مکانیک کوانتومی رسید، اما تجربه نشان داده است که استفاده از ابزارهای آشناتر، مانند معادله‌های دیفرانسیل، نظریه را قابل فهم‌تر و همخوانی با فیزیک کلاسیک را شفاف‌تر می‌کند.

حجم کتاب احتمالاً بیشتر از آن است که بتوان در یک سال به‌آسانی تدریس کرد. مطالب اساسی را می‌توان در یک سه ماهه تحصیلی تدریس کرد. این قسمت از کتاب تشکیل شده است از فصلهای ۱ تا ۶، ۸ و ۹ که در آنها شکل‌گیری نظریه کوانتومی، معادله شرودینگر و ساختار کلی مکانیک موجی بیان شده‌اند. تعدادی مسئله ساده در فصل ۵ حل شده‌اند، و درباره رابطه آنها با

پدیده‌های فیزیک بحث شده است. تعمیم به دستگاه‌های چندذره‌ای و به سه بعد بررسی شده است. مطالب سه ماهه دوم مستقیماً به مسائل فیزیک اتمی مربوط می‌شوند، و در این قسمت از ابزار ریاضی پیچیده‌تری استفاده می‌شود. در اینجا درباره روشهای عملگری (فصل ۷)، تکانه زاویه‌ای (فصل ۱۰)، اتم هیدروژن (فصل ۱۲)، عملگرها، ماتریسها و اسپین (فصل ۱۴)، جمع عملگرهای زاویه‌ای (فصل ۱۵)، نظریه اختلال مستقل از زمان (فصل ۱۶) و اتم هیدروژن واقعی (فصل ۱۷) بحث می‌کنیم. این برنامه دانشجویان را برای روبه رو شدن با مسائل بسیار متنوعی که طی سه ماهه سوم و آخر بررسی می‌شوند آماده می‌کند. این مسائل عبارت‌اند از برهم‌کنش ذرات باردار با میدان مغناطیسی (فصل ۱۳)، اتم هلیم (فصل ۱۸)، تابش آنها و مباحث مربوط (فصلهای ۲۲ و ۲۳)، نظریه برخورد (فصل ۲۴) و جذب تابش در ماده (فصل ۲۵). این قسمت با یک بحث کیفی‌تر درباره ساختار آنها و مولکولها (فصلهای ۱۹ تا ۲۱) تکمیل می‌شود. آخرین فصل که درباره ذرات بنیادی و تقارنهای آنها است هدف دوگانه‌ای دارد که عبارت است از توصیف بعضی از پیشرفتهای اخیر در خط مقدم فیزیک و نشان دادن اینکه چگونه مفاهیم اساسی نظریه کوانتومی در قلمرو فواصل بسیار کوچک کاربرد یافته‌اند.

در شرح و بسط موضوع اصلی طبعاً بعضی مباحث حاشیه‌ای پیش می‌آیند. به جای طولانی‌تر کردن فصلها، بخش جداگانه "مباحث ویژه" را اضافه کرده‌ام. در اینجا سینماتیک نسبیتی، اصل هم‌ارزی، تقریب WKB، بحث مفصلی در طول عمر، پهنای خط و تشدید پراکندگی، و نظریه یوکاوا برای نیروهای هسته‌ای بیان می‌شوند. به همان دلیل، درآمد کوتاهی بر انتگرال فوریه، تابع دلتای دیراک، و چند مطلب صوری درباره عملگرها در پوستهای ریاضی آخر کتاب گنجانده شده‌اند. *خاطر بحثهای بسیار درباره موضوع مکانیک کوانتومی، خود را مدیون همکارانم در دانشگاه مینه‌سوتا، مخصوصاً بنجامین بیمن و دونالد گفن، می‌دانم. از بوجین مرزباخر که دست‌نوشته‌ام را خوانده است و پیشنهادهای مفید بسیاری برای اصلاح آن داده است سپاسگزاری می‌کنم. همچنین از دانشجویانم در درس مکانیک کوانتومی مقدماتی که چندین سال درس داده‌ام تشکر می‌کنم. علاقه آشکار آنها به موضوع مرا بر آن داشت تا یادداشتهای مکملی بنویسم که بعداً به صورت کتاب حاضر درآمد.

استیون گاز یوروویچ

پیشگفتار ویرایش دوم

ویرایش اول فیزیک کوانتومی بیش از ۲۰ سال قبل انتشار یافت. رهنمودهایی که در پیشگفتار آن مطرح کردم و همچنین رهیافت کلی آن را هنوز هم تأیید می‌کنم. ویرایش کنونی تفاوت اساسی با ویرایش اول ندارد اما از چند لحاظ مهم بهتر شده است.

آموزش

برای آسانتر شدن کار دانشجو، جزئیات بیشتری از استدلالها و محاسبات را بیان کرده‌ام و به بحثهای فیزیکی بیشتری در ورای نتایج صوری محاسبات پرداخته‌ام. همچنین تعداد عناوین بخشها و زیربخشها را زیادتر کرده‌ام، که این باعث می‌شود کار مدرس نظم بیشتری پیدا کند. در راستای هدف ارائه کتابی درباره فیزیک کوانتومی تعداد کاربردها را افزایش داده‌ام.

کاربردها

تغییراتی بنیادی در تعداد زیادی از کاربردهایی که در متن کتاب گنجانده شده‌اند به‌وجود آورده‌ام. بحث گاز فرمیون واگن را برای محاسبه ساده‌ای از شعاع ستاره نوترونی گسترش داده‌ام. در بحث برهم‌کنش الکترون با میدان مغناطیسی، به ترازهای لانداو و مختصراً به اثر کوانتومی هال با اعداد درست اشاره کرده‌ام.

تغییراتی که در نیمه دوم این ویرایش صورت گرفته‌اند عبارت‌اند از کوتاه کردن بحث ساختار مولکولی و حذف فصل مربوط به فیزیک ذرات بنیادی. در عوض، به نظریه تابش توجه بیشتری کرده‌ام. در اینجا بحث ضرایب A و B اینشتین، لیزرها، سرد کردن اتمها، خواص اتمهای دوترازی در میدانهای الکتریکی شدید، و موضوع جذاب مشاهده جهشهای کوانتومی را اضافه کرده‌ام.

در بخش مباحث ویژه، بحث اصل هم‌ارزی اینشتین را، که مناسبتی با این کتاب ندارد، با بحثی درباره عملگر چگالی عوض کرده‌ام. درباره این عملگر توضیحی در متن درس داده نشده است، و افزودن آن باعث می‌شود که دانشجویان، اگر لازم باشد، بتوانند معلومات خود را گسترش دهند.

سپاسگزاری

در سالهای گذشته با افرادی که از ویرایش اول استفاده کرده‌اند ارتباط داشته‌ام. غلطهای چاپی و همچنین مسائل غیرقابل حل را به من تذکر داده‌اند. چون این اشتباهات را نزدیک به ۲۰ سال قبل به من اطلاع داده‌اند (بسیاری از آنها در چاپ دوم تصحیح شدند) اسامی تمام آن افراد را به خاطر ندارم. وظیفه خود می‌دانم که از همه آنها تشکر کنم، از جمله از استادان ج س ت ن و تام دُولین. تذکرات جالبی از استادان لُوول براون، ریچارد روینت، ایان گاتلند، یوآن‌ها، و روبرت لوری دریافت داشته‌ام، و مایلم مخصوصاً از دوست و همکارم ارل پیترسون برای پیشنهادهای مفیدش تشکر کنم.

استیون گاز یوروویچ



محدودیت‌های فیزیک کلاسیک

پایان قرن نوزدهم و آغاز قرن بیستم دوره بحران در فیزیک بود. یک رشته نتیجه‌های تجربی به مفاهیمی نیاز داشتند که کاملاً با فیزیک کلاسیک ناسازگارند. پیشرفت این مفاهیم، در یک کشاکش جذاب از حدسهای اساسی و آزمایشهای درخشان، در نهایت به نظریه کوانتومی منجر شد.^۱ هدف ما در این فصل توصیف زمینه این بحران و، پس از درک ماقوع، ارائه مفاهیم جدید به ترتیبی است که اگرچه از لحاظ تاریخی درست نیست اما اسرارآمیز بودن گذار به نظریه کوانتومی را برای خواننده کمتر می‌کند. مفاهیم جدید، یعنی خواص ذره‌ای تابش، خواص موجی ماده، و کوانتیدگی کمیت‌های فیزیکی، در پدیده‌هایی که بررسی خواهیم کرد ظاهر می‌شوند.

۱. گزارش جالب توجهی از تکوین و تکامل نظریه کوانتومی را می‌توان در کتاب زیر یافت.

M Jammer, *The Conceptual Development of Quantum Mechanics*, Second Edition, American Institute of Physics, New York 1983.

همچنین مراجعه کنید به

A Pais, *Subtle is The Lord...*, Oxford University Press, NY (1982), Ch 19.

تابش جسم سیاه تابش جسم سیاه کلاسیک

وقتی جسمی گرم می‌شود تابش می‌کند. در حالت تعادل، نور گسیل شده تمام طیف بسامدهای λ را با یک توزیع طیفی در بر می‌گیرد، که هم به بسامد نور، یا معادل آن طول موج λ ، بستگی دارد و هم به دما. می‌توان کمیت توان گسیل $E(\lambda, T)$ را به صورت انرژی گسیل شده در طول موج λ در واحد سطح و در واحد زمان تعریف کرد. پژوهش نظری در حوزه تابش گرمایی در سال ۱۸۵۹ با کار گوستاو کیرشهوف شروع شد که نشان داد به ازای یک λ معین نسبت توان گسیل E به ضریب جذب A ، که بنا به تعریف کسر تابش فرودی با طول موج λ است که جسم جذب می‌کند، برای تمام جسمها یکسان است. کیرشهوف دو صفحه گسیلنده و جذب‌کننده موازی در نظر گرفت و از شرط تعادل نشان داد که (به ازای هر λ) انرژی گسیل شده با انرژی جذب شده برابر است، یعنی نسبت‌های E/A باید برای این دو صفحه یکسان باشند. اندکی پس از آن، او دریافت که برای جسم سیاه، که بنابه تعریف به سطحی گفته می‌شود که تمام تابش فرودی را کاملاً جذب می‌کند و در نتیجه برای آن $A = 1$ ، تابع $E(\lambda, T)$ یک تابع جهانی است.

برای مطالعه این تابع، لازم است که بهترین چشمه ممکن تابش جسم سیاه را به دست آوریم. یک حل عملی این مسئله بررسی تابش گسیل شده از یک روزنه کوچک در محفظه‌ای است که تا دمای T گرم شده است. با توجه به ناکاملیهای سطح داخلی کاواک، واضح است که هر تابشی که به روزنه فرود می‌آید دیگر نمی‌تواند از آن خارج شود. بدین ترتیب، سطح روزنه تقریباً یک "جذب‌کننده کامل" است، و در نتیجه تابش ناشی از آن واقعاً "تابش جسم سیاه" است. اگر روزنه به اندازه کافی کوچک باشد، این تابش همان تابشی است که به دیواره‌های کاواک فرود می‌آید. بنابراین، دانستن توزیع تابش داخل کاواکی که دیواره‌های آن در دمای T هستند ضروری است. کیرشهوف نشان داد که، بنابه قانون دوم ترمودینامیک، تابش داخل کاواک — برای هر طول موج — باید همسانگرد باشد، یعنی شار مستقل از راستا است؛ باید همگن باشد، یعنی در هر نقطه یکسان؛ است و باید برای تمام کاواک‌های با دمای مساوی یکسان باشد.^۲ با استدلال‌های ساده هندسی می‌توان نشان داد که توان گسیل با چگالی انرژی $u(\lambda, T)$ در کاواک ارتباط دارد (مسئله ۱-۱).

این رابطه به صورت زیر است

$$u(\lambda, T) = \frac{4E(\lambda, T)}{c} \quad (1-1)$$

چگالی انرژی کمیته است که به لحاظ نظری اهمیت دارد، و درک دقیقتر آن در سال ۱۸۹۴ با

۲. این مطالب در بسیاری از کتابهای درسی فیزیک جدید و فیزیک آماری توضیح داده شده‌اند. مرجعهای مربوطه را می‌توانید در آخر این فصل و آخر کتاب بیابید.

کار ویلهلم وین حاصل شد که www.arsanjaniblogfa.com، نشان داد چگالی انرژی باید به صورت زیر باشد

$$u(\lambda, T) = \lambda^{-5} f(\lambda T) \quad (2-1)$$

که در آن f تابع هنوز نامعلومی از تنها یک متغیر است. اگر، چنانکه مناسبتر است، بخواهیم با چگالی انرژی برحسب بسامد $u(\nu, T)$ کار کنیم با توجه به اینکه $\lambda = c/\nu$ و

$$\begin{aligned} u(\nu, T) &= u(\lambda, T) \left| \frac{d\lambda}{d\nu} \right| \\ &= \frac{c}{\nu^2} u(\lambda, T) \end{aligned} \quad (3-1)$$

قانون وین به صورت زیر در می آید

$$u(\nu, T) = \nu^3 g\left(\frac{\nu}{T}\right) \quad (4-1)$$

این قانون، که تجربه آن را تأیید کرده است (شکل ۱-۱)، مستلزم دو پیامد زیر است:

۱. با داشتن توزیع طیفی تابش جسم سیاه در یک دمای معین، می توان توزیع در هر دمای دیگر را با استفاده از روابط بالا به دست آورد.

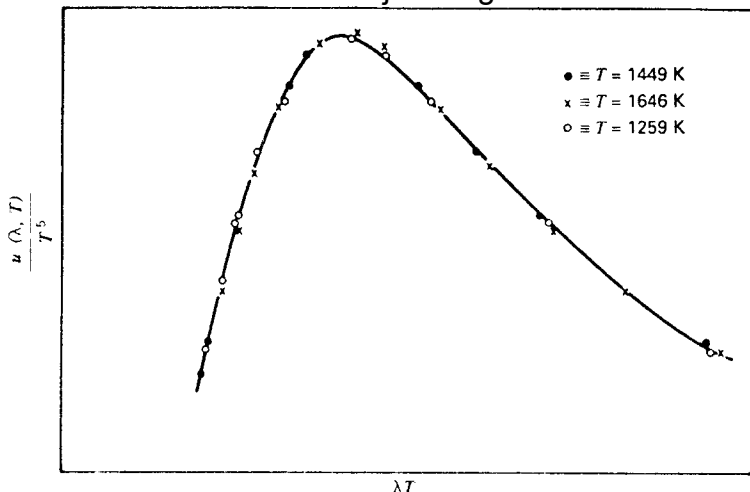
۲. اگر تابع $f(x)$ یا معادل آن، تابع $-g(x)$ به ازای یک مقدار $x > 0$ بیشینه ای داشته باشد، طول موج $\lambda_{(\max)}$ که در آن چگالی انرژی و در نتیجه توان گسیل بیشینه است با رابطه زیر داده می شود

$$\lambda_{(\max)} = \frac{b}{T} \quad (5-1)$$

که در آن b یک ثابت جهانی است. مقدار این ثابت، بنا به آزمایشهای اوتولومر و ای پرینگنرهایم (۱۸۹۷)، برابر است با $b = 2898 \text{ cm K}$.

۳. وین یک کاواک کروی کاملاً بازتابنده را در نظر گرفت که به طور بی دررو منقبض می شود. تغییر توزیع انرژی برحسب λ باید به علت انتقال دوپلر در بازتاب باشد. به فصل ۵ از کتاب زیر مراجعه کنید

F K Richtmyer, E H Kennard, and J N Cooper, *Introduction to Modern Physics*, McGraw-Hill, New York, 1969.



شکل ۱-۱ تأیید تجربی رابطه ۲-۱ به صورت $u(\lambda, T)/T^5$ که یک تابع جهانی برحسب λT است.

وین با استفاده از یک الگو (که تنها به لحاظ تاریخی جالب توجه است) صورتی برای $g(\nu/T)$ به دست آورد که عبارت است از

$$g\left(\frac{\nu}{T}\right) = C e^{-\beta\nu/T} \quad (۶-۱)$$

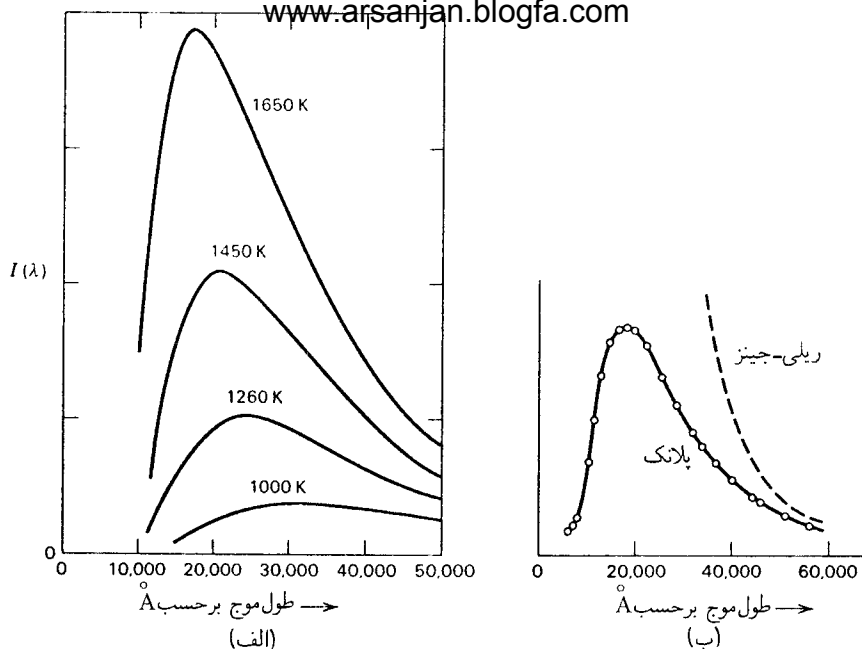
و بسیار عجیب است که این تابع، که حاوی دو پارامتر قابل تنظیم است، با داده‌های بسامد زیاد (طول موج کم) کاملاً جور در می‌آید، اما با بعضی از مفاهیم بسیار کلی فیزیک کلاسیک سازگار نیست. جان ویلیام استروت ریلی، در سال ۱۹۰۰، نتیجهٔ زیر را به دست آورد

$$u(\nu, T) = \frac{\Lambda \pi \nu^2}{c^3} kT \quad (۷-۱)$$

که در آن k ثابت بولتزمن $(1.38 \times 10^{-17} \text{ erg/K})$ و c سرعت نور است، $(3.0 \times 10^{10} \text{ cm/s})$ است. محاسبهٔ فرمول ۷-۱ شامل دو قسمت بود: (۱) تعیین انرژی میانگین به ازای هر درجهٔ آزادی برای یک دستگاه دینامیکی در حال تعادل گرمایی بر مبنای قانون کلاسیک همپاری انرژی،^۴ و (۲) تعیین تعداد مدها (یعنی درجه‌های آزادی) برای تابش الکترومغناطیسی محبوس در یک کاواک با بسامدی در بازهٔ $(\nu, \nu + d\nu)$.^۵

۴. قانون همپاری پیش‌بینی می‌کند که انرژی میانگین به ازای هر درجهٔ آزادی $kT/2$ است. برای یک نوسانگر — و مدهای میدان الکترومغناطیسی نوسانگرهای هماهنگ ساده هستند — یک سهم $kT/2$ از انرژی جنبشی با یک سهم مساوی از انرژی پتانسیل جمع می‌شود و نتیجه kT است.

۵. تعداد این مدها $4\pi\nu^2/c^3$ است که باید در ۲ ضرب شود زیرا امواج الکترومغناطیسی، که عرضی‌اند، متناظر با



شکل ۱-۲ (الف) توزیع توان تابیده از جسم سیاه در دماهای مختلف. (ب) مقایسه داده‌های تجربی در 1600 K با فرمولهای پلانک و ریلی-جینز.

قانون ریلی-جینز ۱-۷ (جینز یک اشتباه جزئی در محاسبه ریلی را تصحیح کرد) در بسامدهای زیاد، برخلاف فرمول وین، با آزمایش توافق ندارد اما در بسامدهای کم بر منحنی تجربی منطبق است (شکل ۱-۲). قانون ریلی-جینز اساساً نمی‌تواند درست باشد، زیرا چگالی انرژی کل (انتگرال چگالی انرژی روی تمام بسامدها) را بینهایت پیش‌بینی می‌کند.

توزیع پلانک و کوانتوم انرژی

ماکس پلانک در سال ۱۹۰۰، از تلفیق نوع‌آمیز فرمول بسامد زیاد وین با قانون بسامد کم ریلی-جینز، فرمولی به‌دست آورد که به‌صورت زیر است

$$u(\nu, T) = \frac{8\pi h \nu^3}{c^3} \frac{1}{e^{h\nu/kT} - 1} \quad (1-1)$$

در این فرمول، h ، ثابت پلانک، یک پارامتر قابل تنظیم است که معلوم شد مقدار آن برابر است با $6.63 \times 10^{-27} \text{ erg s}$. این قانون به‌ازای $h\nu/kT \ll 1$ به‌صورت قانون ریلی-جینز در می‌آید،

نوسانگرهای هماهنگ دویعدی هستند. این نتیجه را باز هم لازم داریم، و آنرا در فصل ۱۲ محاسبه حوامم کرد.

$$u(\nu, T) = \frac{\lambda\pi h}{c^3} \nu^2 e^{-h\nu/kT} (1 - e^{-h\nu/kT})^{-1}$$

$$\cong \frac{\lambda\pi h}{c^3} \nu^2 e^{-h\nu/kT} \quad (9-1)$$

اگر رابطهٔ ۸-۱ را به‌صورت حاصلضرب تعداد مدها (که می‌توان آن‌را از تقسیم چگالی انرژی ۷-۱ بر kT به‌دست آورد) و عامل دیگری، که می‌توان آن‌را انرژی متوسط به‌ازای هر درجهٔ آزادی تعبیر کرد، درآوریم:

$$u(\nu, T) = \frac{\lambda\pi\nu^2}{c^3} \frac{h\nu}{e^{h\nu/kT} - 1}$$

$$= \frac{\lambda\pi\nu^2}{c^3} kT \frac{h\nu/kT}{e^{h\nu/kT} - 1} \quad (10-1)$$

می‌بینیم که هرگاه به‌سامدها در مقایسه با kT/h کوچک نباشند قانون همپاری کلاسیک تغییر می‌کند. این تغییر در قانون همپاری نشان می‌دهد که اولاً مدها انرژی میانگینی دارند که تابع بسامد آنها است، و ثانیاً میانگین انرژی مدهای پُرسامد بسیار کوچک است. این قطع مؤثر مشکل فرمول چگالی ریلی-جینز را برطرف می‌کند: انرژی کل در کاواکی با حجم واحد دیگر بینهایت نیست. داریم

$$U(T) = \frac{\lambda\pi h}{c^3} \int_0^\infty d\nu \frac{\nu^2}{e^{h\nu/kT} - 1}$$

$$= \frac{\lambda\pi h}{c^3} \left(\frac{kT}{h}\right)^3 \int_0^\infty \frac{(h\nu/kT)^2 d(h\nu/kT)}{e^{h\nu/kT} - 1} \quad (11-1)$$

$$= \frac{\lambda\pi k^3}{h^3 c^3} T^3 \int_0^\infty dx \frac{x^2}{e^x - 1}$$

انتگرال را می‌توان محاسبه کرد،^۶ و نتیجه عبارت است از رابطهٔ استفان-بولتزمن برای انرژی تابش کل در واحد حجم:

$$U(T) = aT^4 \quad (12-1 \text{ الف})$$

6. $\int_0^\infty dx x^2 (e^x - 1)^{-1} = \int_0^\infty dx x^2 e^{-x} \sum_{n=0}^\infty e^{-nx} = \sum_{n=0}^\infty \frac{1}{(n+1)^3} \int_0^\infty dy y^2 e^{-y} = 6 \sum_{n=1}^\infty \frac{1}{n^3} = \frac{\pi^2}{15}$

که در آن $10^{15} \text{ erg/cm}^2 \text{K}^2$ www.sarsanjan.blogfa.com الف مدتها قبل با استفاده از استدلال ترمودینامیکی به دست آمده بود. این نتیجه را می‌توان به صورت توان گسیل کل جسم سیاه نیز نوشت:

$$E(T) = \sigma T^4 \quad (12-1) \text{ ب)}$$

که در آن $\sigma = 5.67 \times 10^{-5} \text{ erg/cm}^2 \text{sK}^2$.

انحراف از قانون همپاری محض کاملاً هم غیرمنتظره نبود: یک پیامد قانون همپاری قانون گرمای ویژهٔ دولون-پتی بود که بنا به آن حاصلضرب وزن اتمی (یا مولکولی) و گرمای ویژه برای تمام جامدها مقداری ثابت است. اما انحرافهایی از پیش‌بینی‌های دولون-پتی از سال ۱۸۷۲ به بعد مشاهده شدند.^۷ این انحرافها نشان می‌دادند که گرمای ویژه در دماهای کم کاهش می‌یابد.^۸ موفقیت بی‌چون و چرای رابطهٔ ۸-۱ باعث شد که پلانک به جستجوی منشأ آن بپردازد و پس از دو ماه به این نتیجه رسید که می‌توان آن را با این فرض به دست آورد که انرژی وابسته به هر مد میدان الکترومغناطیسی به طور پیوسته (با مقدار میانگین kT) تغییر نمی‌کند بلکه مضرب درستی از یک کوانتوم انرژی کمیتهٔ ϵ است. در این شرایط، با استفاده از توزیع احتمال بولتزمن برای دستگاهی در تعادل گرمایی در دمای T

$$P(E) = \frac{e^{-E/kT}}{\sum_E e^{-E/kT}} \quad (13-1)$$

انرژی میانگین وابسته به هر مد را محاسبه می‌کنیم:

$$\begin{aligned} \bar{E} &= \sum_E EP(E) \\ &= \frac{\sum_{n=0}^{\infty} n\epsilon e^{-n\epsilon/kT}}{\sum_{n=0}^{\infty} e^{-n\epsilon/kT}} \end{aligned}$$

۷. بنا به قانون همپاری، مجموعه‌ای از N نوسانگر — و شبکه‌ای از آنها با نیروهای کشسان بین آنها را می‌توان چنین در نظر گرفت — دارای انرژی $3NkT$ است که در آن ضریب ۳ ناشی از این است که برخلاف نوسانگرهای مربوط به میدان تابش در کاواک که دویعدی هستند، در یک جسم جامد نوسانگرها سه‌بعدی‌اند. گرمای ویژه برای یک مول از مشتق‌گیری نسبت به T و قرار دادن $N = N_0$ ، عدد آووگادرو، به دست می‌آید: $k = 3N_0 = 3R$ که در آن $R = 8.31 \times 10^7 \text{ erg/K}$.

۸. بحث بسیار کوتاهی دربارهٔ گرمای ویژه را در فصل ۲۰ خواهید دید.

www.arsanjan.blogfa.com

$$\begin{aligned}
 &= \frac{-\epsilon \frac{d}{dx} \sum_{n=0}^{\infty} e^{-nx}}{\sum_{n=0}^{\infty} e^{-nx}} \Bigg|_{x=\epsilon/kT} \\
 &= \epsilon \frac{e^{-x}}{1 - e^{-x}} \Bigg|_{x=\epsilon/kT} \\
 &= \frac{\epsilon}{e^{\epsilon/kT} - 1} \quad (14-1)
 \end{aligned}$$

که با ۱-۱۰ سازگار است به شرط اینکه فرض کنیم

$$\epsilon = h\nu \quad (15-1)$$

و تعداد مدها را تغییر ندهیم.

پلانک استدلال کرد که به دلیل ناشناخته‌های آنها در دیواره‌های کاواک تابش را به صورت "کوانتومهایی" با انرژی $n h \nu$ ($n = 1, 2, 3, \dots$) گسیل می‌کنند، اما به موجب سازگاری، چنانکه اینشتین چند سال بعد نشان داد، تابش الکترومغناطیسی به گونه‌ای رفتار می‌کند که انگار از مجموعه‌ای از کوانتومهای انرژی با انرژی $h\nu$ تشکیل شده است.^۹ انرژی که هر کوانتوم حمل می‌کند فوق‌العاده کم است. برای نور در ناحیه اپتیکی، با مثلاً $\lambda = 6000 \text{ \AA}$ داریم

$$h\nu = h \frac{c}{\lambda} = \frac{6.626 \times 10^{-27} \times 3.00 \times 10^8}{6 \times 10^{-5}} \simeq 3.3 \times 10^{-12} \text{ erg}$$

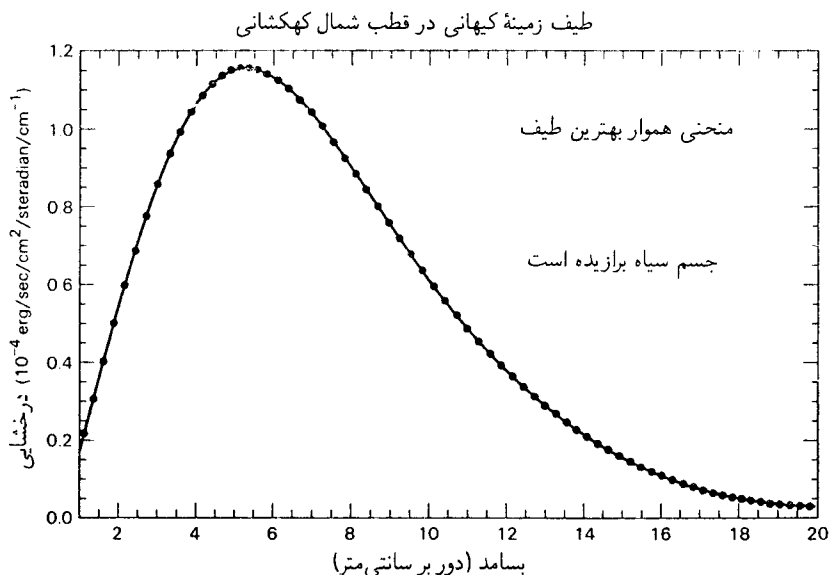
و در نتیجه تعداد کوانتومهای نور با این طول‌موج که به‌عنوان مثال از یک چشمه ۱۰۰ واتی گسیل می‌شوند برابر است با

$$N = \frac{100 \times 10^7}{3.3 \times 10^{-12}} \simeq 3 \times 10^{20} \text{ quanta/s}$$

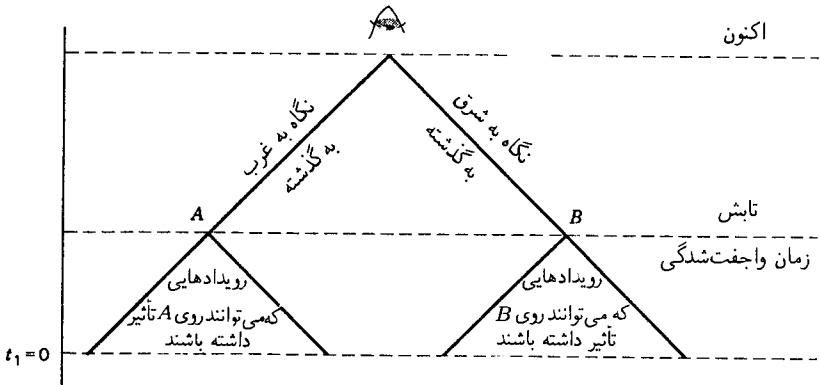
با این تعداد زیاد کوانتوم، شاید عجیب نباشد که ماهیت ذره‌ای نور را مستقیماً احساس نمی‌کنیم؛ خواهیم دید که در مقیاس ماکروسکوپیک نباید هیچ انحرافی از اپتیک کلاسیک وجود داشته باشد. با این‌همه، تعبیری که پلانک از فرمول خود ارائه کرد در تصویری که از تابش داریم تغییر اساسی به‌وجود می‌آورد.

۹. به‌ازای یک بسامد معین ν ، کوانتومها می‌توانند با هر تعداد درست موجود باشند و در نتیجه انرژی می‌تواند مقادیر $n h \nu$ با $n = 0, 1, 2, 3, \dots$ داشته باشد.

به علت پیشرفتهای ناشی از کشف زمینه‌ای در تابش کیهانی در ناحیه میکروموج توسط پنزیاس و ویلسون در سال ۱۹۶۴، تابش جسم سیاه در خط مقدم فیزیک قرار گرفته است. در اواخر دهه ۱۹۴۰، جورج گاموف، رالف آلفر، و رابرت هرمن بعضی از پیامدهای الگوی مهبانگ آفرینش جهان را مطالعه کردند. کار آنها، و محاسباتی که بعداً پیلس انجام داد، نشان داد که فراوانی کنونی هیدروژن در جهان را تنها به شرطی می‌توان درک کرد که مقدار زیادی تابش در مراحل کاملاً اولیه جهان وجود می‌داشت. انبساط جهان باعث سرد شدن ماده و تابش موجود در جهان شد، و وقتی دما به حدود 3000K رسید تابش دیگر برهم‌کنش عمده‌ای با ماده جهان نداشت زیرا الکترونهاى آزاد توانستند با نوکلونها ترکیب شوند و آنها را تشکیل دهند. از آن زمان جهان نسبت به تابش شفاف شد، و دمای تابش با اندازه "جعبه"‌ای که حاوی این تابش است، یعنی جهان، به‌طور خطی افت کرد. مانده فعلی تابش در چند سال اخیر توسط ماهواره ناسای کوبه (کاوشگر زمینه کیهانی) مطالعه شده است. چنانکه شکل ۳-۱ نشان می‌دهد، طیف با دقت زیاد با توزیع جسم سیاه، مربوط به دمای کنونی 2.735K ، مطابقت دارد. این زمینه تابش جسم سیاه کیهانی داستان مهبانگ را تأیید می‌کند، و اطلاعاتی درباره انبساط جهان و همچنین شرایطی که در زمان واجفت‌شدگی ایجاد شدند به دست می‌دهد. تغییرات جزئی دما به صورت تابعی از راستا با حرکت منظومه شمسی نسبت به مرکز کهکشان، که با حرکت کهکشان ما به سمت خوشه کهکشانی ویرگو (توده‌ای از ماده در فاصله حدود 50



شکل ۳-۱ نتایج اندازه‌گیری‌های کوبه روی تابش زمینه.



شکل ۱-۴ مسئله افق: نظری که تابش جسم سیاه زمینه را با نگاه کردن به شرق و غرب اندازه‌گیری می‌کند اثر شرایط در A و B در زمان واجفت‌شدگی را می‌بیند. در الگوی مهبانگ مرسوم، برابری دماها در A و B را نمی‌توان درک کرد زیرا در زمان مهبانگ ($t_1 = 0$) مخروطهای نور گذشته A و B روی هم نمی‌افتند. داستان تورم فرض می‌کند که در نخستین دوره پس از مهبانگ جهان متحمل یک انبساط انفجاری نمایی شده است، و در نتیجه هر دو ناحیه در گذشته A و B از یک ناحیه قدیمی‌تر و بسیار کوچکتر ناشی شده‌اند که در آن هیچ‌یک از این دو ناحیه خارج از قلمرو تأثیر یکدیگر نبوده‌اند. در نمودار بالا مقیاس ثابتی برای زمان رعایت نشده است زیرا بازه بین مهبانگ و اکنون از مرتبه 10^5 بار بزرگتر از بازه بین مهبانگ و زمان واجفت‌شدگی است.

میلیون سال نوری) ترکیب شده است، سازگار هستند. سرعت این حرکت از مرتبه 370 km/s است و ناهمگنی را می‌توان به انتقال دوپلر وابسته به این حرکت نسبت داد. اگر این اثر را حذف کنیم، دما با دقتی بهتر از 10^5 روی 10^5 یکنواخت می‌شود. این همگنی کیهانشناسان را با مسئله‌ای مواجه کرده است. تابش جسم سیاه دریافت شده از یک راستای خاص در آسمان تابش از آن قسمت آسمان در زمان واجفت‌شدگی است (که البته به علت انبساط جهان از آن زمان انتقال به سرخ یافته است). یکسانی طیفهای تابش در قسمتهای کاملاً مختلف آسمان نشاندهنده برابری دماها در این قسمتهای آسمان در زمان واجفت‌شدگی است، اما چنین ناحیه‌هایی خارج از افق تأثیر یکدیگر هستند (به شکل ۱-۴ مراجعه کنید). در سال ۱۹۸۱ آلان گوت نظر داد که مراحل کاملاً اولیه مهبانگ شامل دوره‌ای با افزایش نمایی واقعاً سریع بوده‌اند، به طوری که می‌توانیم قسمتهای مختلف آسمان در زمان واجفت‌شدگی را به یک مبدأ مشترک منسوب کنیم مشکل همگنی فوق‌العاده تا اندازه‌ای کم شد، اما هنوز به‌سختی می‌شد تصور کرد که از ناهمگنیهایی که باید وجود می‌داشتند تا بذریه هم پیوستن ماده برای تشکیل کهنترین کهکشانها را بیاشند نباید ردهایی وجود داشته باشد. بنابراین، وقتی به کیهانشناسان از طرف گروه کوبه مژده رسید که ناهمگنیهایی در سطح 5×10^{-6} در دما یافت شده‌اند آنها نفسی به‌آسودگی کشیدند. باید امید داشت که اندازه‌گیریهای دقیقتر برای کمک به درک جزئیات جهان اولیه ادامه یابد.

فرمول پلانک هر چند هم موفقیت‌آمیز بود اما نتیجه‌گیری ماهیت کوانتومی تابش از آن چندان الزامی نیست. سهم مهمی در پذیرفتن آن از کار آلبرت اینشتین حاصل شد، که در سال ۱۹۰۵ با استفاده از مفهوم ماهیت کوانتومی نور بعضی از خاصیت‌های ویژه فلزات را، وقتی در معرض نور مرئی و فرابنفش قرار می‌گیرند، توضیح داد.

کشف اثر فوتوالکتریک با کار هایزنیش هرتز در سال ۱۸۸۷ آغاز شد. هرتز، وقتی درگیر آزمایش‌های مشهور خود روی امواج الکترومغناطیسی بود، مشاهده کرد که اگر دو سر کاف جرقه در برابر نور بنفش ناشی از جرقه در مدار اولیه پوشانده شوند طول جرقه القا شده در مدار ثانویه کاهش می‌یابد. مشاهدات او توجه بسیاری را به خود جلب کرد، و واقعیت‌های زیر با آزمایش‌های بیشتری به اثبات رسیدند:

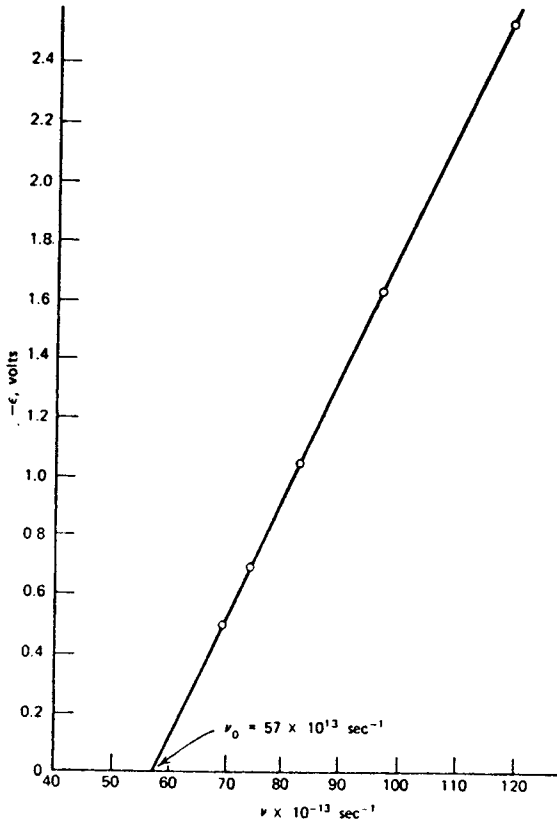
۱. وقتی یک صفحه فلزی صیقلی شده در معرض نور قرار می‌گیرد ممکن است الکترون گسیل کند،^{۱۰} اما هیچ یون مثبتی گسیل نمی‌کند.
۲. گسیل الکترون از این صفحه به بسامد نور بستگی دارد. آستانه‌ای وجود دارد که به طور کلی از یک فلز به فلز دیگر فرق می‌کند: نور به شرطی می‌تواند جریان فوتوالکتریک تولید کند که بسامدش بزرگتر از بسامد آستانه فلز باشد.
۳. بزرگی این جریان، اگر تولید شود، متناسب با شدت چشمه نور است.
۴. انرژی فوتوالکترونها مستقل از شدت چشمه نور است اما با بسامد نور فرودی به صورت خطی تغییر می‌کند.

اگرچه وجود اثر فوتوالکتریک در چارچوب نظریه الکترومغناطیس کلاسیک قابل درک بود — زیرا می‌دانستند که فلزات دارای الکترون هستند و می‌شد تصور کرد که این الکترونها به علت جذب تابش شتاب بگیرند — اما وابستگی اثر به بسامد در این نظریه قابل توضیح نیست. انرژی که یک موج الکترومغناطیسی حمل می‌کند با شدت چشمه متناسب است و ربطی به بسامد ندارد. علاوه بر این، توضیح کلاسیک اثر فوتوالکتریک، که باید تمرکز انرژی روی تک‌تک فوتوالکترونها را در آن دخالت داد، متضمن یک تأخیر زمانی اجتناب‌ناپذیر بین ورود تابش و خروج الکترون است که هر چه شدت کمتر باشد طولانی‌تر است. در واقع چنین تأخیری حتی با تابش فرودی بسیار کم شدت هرگز، حداقل تا 10^{-9} ثانیه، مشاهده نشده است.

اینشتین تابش را متشکل از کوانتوم‌هایی با انرژی $h\nu$ در نظر گرفت، که در آن h بسامد نور است. جذب یک کوانتوم منفرد توسط یک الکترون — فرایندی که می‌تواند کمتر از حد بالایی که قبلاً ذکر شد طول بکشد — انرژی الکترون را به اندازه $h\nu$ افزایش می‌دهد. مقداری از این انرژی باید صرف جدا شدن الکترون از فلز شود. می‌توان انتظار داشت که این مقدار، W (که تابع کار نامیده می‌شود)، از یک فلز به فلز دیگر فرق کند، اما نباید به انرژی الکترون بستگی داشته باشد. بقیه به انرژی جنبشی الکترون تبدیل می‌شود، و در نتیجه، براساس این تصویر، رابطه زیر باید بین

^{۱۰} این را می‌توان با یک آزمایش e/m اثبات کرد.

www.arsanjan.blogfa.com



شکل ۱-۵ داده‌های اثر فوتوالکتریک در نموداری از پتانسیل بازدارنده لازم برای متوقف کردن شارش الکترون‌ها از یک فلز (لیتیم)، یا معادل آن انرژی جنبشی الکترون‌ها، برحسب بسامد نور فرودی. شیب خط h/e است.

سرعت الکترون v و بسامد نور ν برقرار باشد

$$\frac{1}{2}mv^2 = h\nu - W \quad (۱۶-۱)$$

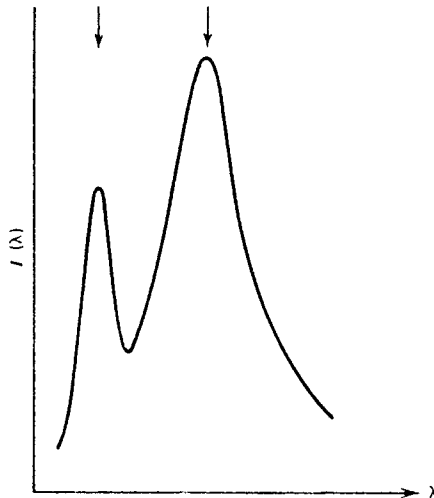
این فرمول متضمن وجود آستانه و رابطه خطی بین انرژی جنبشی الکترون و بسامد است. تناسب میان جریان و شدت چشمه را نیز می‌توان برحسب این کوانتومهای نور، که بعداً فوتون نامیده شدند، توضیح داد: چشمه نور هر چه شدیدتر باشد فوتونهای بیشتری گسیل می‌کند، و این فوتونها به نوبه خود می‌توانند الکترونهای بیشتری آزاد کنند.

رابرت آندروز میلیکان آزمایشهای مفصلی انجام داد و درستی فرمول اینشتین را به اثبات رساند (شکل ۱-۵). آنچه آزمایشهای میلیکان و پیش از او نشان دادند این بود که اولاً نورگاهی مانند مجموعه‌ای

از ذره‌ها رفتار می‌کند، و ثانیاً این "ذرات" می‌توانند منفرداً عمل کنند، و در نتیجه می‌توان وجود یک فوتون منفرد را پذیرفت و خواص آن را بررسی کرد. معلوم شده است که تابع کار W از مرتبه چند الکترون ولت است ($1\text{eV} = 1.6 \times 10^{-19} \text{erg}$)، و این نتیجه را می‌توان به خواص دیگر فلزات مربوط کرد.

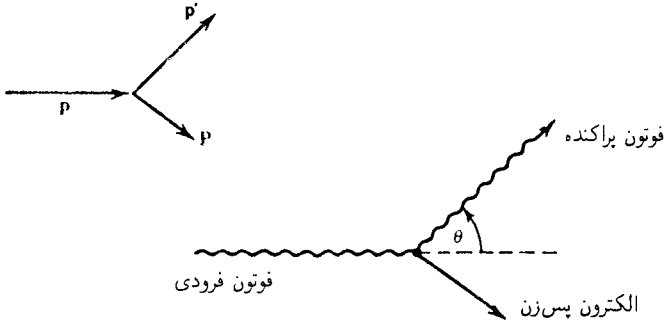
اثر کامپتون

آزمایشی که سراسرترین مدرک ماهیت ذره‌ای تابش را در اختیار می‌گذارد اثر کامپتون است. آرتور هوللی کامپتون کشف کرد تابشی با یک طول موج معین (در ناحیه پرتو x) که از یک ورقه فلزی می‌گذرد به گونه‌ای پراکنده می‌شود که با نظریه تابش کلاسیک سازگار نیست. بنابه نظریه کلاسیک، سازوکار این اثر عبارت است از تابش مجدد نور توسط الکترونهايي که با تابش فرودی به نوسان واداشته شده‌اند، و این منجر می‌شود به پیش‌بینی شدت مشاهده شده در زاویه θ به صورت $(1 + \cos^2 \theta)$ که به طول موج تابش فرودی بستگی ندارد. کامپتون دریافت که تابش پراکنده در یک زاویه معین عملاً از دو مؤلفه تشکیل می‌شود: مؤلفه‌ای که طول موج آن همان طول موج تابش فرودی است، و مؤلفه دیگری که طول موج آن نسبت به طول موج فرودی به مقداری که بستگی به زاویه دارد انتقال پیدا کرده است (شکل ۱-۶). کامپتون با در نظر گرفتن تابش فرودی به صورت باریکه‌ای از فوتونها که هر یک از آنها دارای انرژی $h\nu$ است و باعث پراکندگی کشسان یک الکترون منفرد می‌شود، توانست مؤلفه "تغییر یافته" را توضیح دهد. در یک برخورد کشسان، هم تکانه و هم انرژی باید پایسته باشند، و از این رو باید ابتدا تکانه‌ای به فوتون نسبت دهیم. با مقایسه با سینماتیک



شکل ۱-۶ طیف تابش پراکنده از کربن، نشاندهنده خط تغییر یافته در 0.707\AA (که طول موج تابش اولیه است) در سمت چپ و خط انتقال یافته در 0.7314\AA در سمت راست.

www.arsanjan.blogfa.com



شکل ۷-۱ سینماتیک اثر کامپتون.

نسبیتی، نشان می‌دهیم که

$$p = \frac{h\nu}{c} \quad (۱۷-۱)$$

اثبات به این ترتیب است که از رابطه نسبیتی میان انرژی و تکانه، یعنی

$$E = [(m_0 c^2)^2 + (pc)^2]^{1/2} \quad (۱۸-۱)$$

که در آن m_0 جرم سکون ذره است، نتیجه می‌گیریم که سرعت وابسته به این تکانه برابر است با

$$v = \frac{dE}{dp} = \frac{pc^2}{E} = \frac{pc^2}{(m_0^2 c^4 + p^2 c^2)^{1/2}} \quad (۱۹-۱)$$

برای فوتون این سرعت همیشه c است، و در نتیجه جرم سکون فوتون باید صفر باشد. بنابراین، رابطه ۱۸-۱ به صورت زیر در می‌آید

$$E = pc \quad (۲۰-۱)$$

که با جاگذاری $E = h\nu$ رابطه ۱۷-۱ را به دست می‌دهد. همچنین می‌توان ۲۰-۱ را از بررسی انرژی و تکانه موج الکترومغناطیسی به دست آورد اما اثبات قیاسی ساده‌تر است.

اکنون فوتونی با تکانه اولیه p در نظر بگیرید که با یک الکترون ساکن برخورد می‌کند. پس از برخورد، تکانه فوتون p' است و الکترون با تکانه P پس می‌زند. از پایستگی تکانه داریم (شکل ۷-۱)

که از آن به دست می‌آوریم

$$P^{\prime} = (\mathbf{p} - \mathbf{p}')^2 = p^2 + p'^2 - 2\mathbf{p} \cdot \mathbf{p}' \quad (22-1)$$

رابطه پایستگی انرژی به صورت زیر است

$$h\nu + mc^2 = h\nu' + (m^2c^4 + P^{\prime}c^2)^{1/2} \quad (23-1)$$

که در آن m جرم سکون الکترون است. در نتیجه،

$$\begin{aligned} m^2c^4 + P^{\prime}c^2 &= (h\nu - h\nu' + mc^2)^2 \\ &= (h\nu - h\nu')^2 + 2mc^2(h\nu - h\nu') + m^2c^4 \end{aligned}$$

از طرف دیگر، ۲۲-۱ را می‌توان به صورت زیر نوشت

$$P^{\prime} = \left(\frac{h\nu}{c}\right)^2 + \left(\frac{h\nu'}{c}\right)^2 - 2\frac{h\nu}{c} \cdot \frac{h\nu'}{c} \cos \theta$$

یا

$$P^{\prime}c^2 = (h\nu - h\nu')^2 + 2(h\nu)(h\nu')(1 - \cos \theta) \quad (24-1)$$

که در آن θ زاویه پراکندگی فوتون است. بنابراین،

$$h\nu'(1 - \cos \theta) = mc^2(\nu - \nu')$$

یا، هم‌ارز آن

$$\lambda' - \lambda = \frac{h}{mc}(1 - \cos \theta) \quad (25-1)$$

اندازه‌گیری‌های مؤلفه تغییر یافته با این پیش‌بینی کاملاً توافق دارند. خط تغییر یافته ناشی از پراکندگی از تمام اتم است؛ اگر به جای m جرم اتم را قرار دهیم، انتقال طول موج بسیار کوچک می‌شود زیرا

جرم اتم چندین هزار برابر جرم الکترون است. کمیت h/mc ، که بعد طول دارد، طول موج کامپتون الکترون نامیده می‌شود، و اندازه آن برابر است با

$$\frac{h}{mc} \cong 2,4 \times 10^{-10} \text{ cm} \quad (26-1)$$

اندازه‌گیرهای پس‌زنی الکترون نیز انجام شده‌اند، و که با نظریه توافق دارند. علاوه بر این، با آزمایش‌های همفرودی با تفکیک زمانی خوب معلوم شده است که فوتون خروجی و الکترون پس‌زن همزمان ظاهر می‌شوند. دربارهٔ درستی تعبیر این برخورد به‌عنوان برخوردی از نوع “توپ بیلارد” معمولی، یعنی رفتار ذره‌گونهٔ فوتون، تردیدی وجود ندارد. از آنجا که تابش خواص موجی هم دارد و تداخل و پراش از خود نشان می‌دهد، بروز مشکلات مفهومی دور از انتظار نیست. این مشکلات وجود دارند، و در پایان این فصل دربارهٔ آنها بحث خواهیم کرد.

خواص موجی و پراش الکترون

در سال ۱۹۲۳، دوبروی از شباهت اصل فرما در اپتیک و اصل کمترین کنش در مکانیک به این نتیجه رسید که ماهیت دوگانهٔ موجی-ذره‌ای تابش باید همتایی به‌صورت ماهیت دوگانهٔ ذره‌ای-موجی ماده داشته باشد. بنابراین، ذرات باید در شرایط خاصی خواص موجی داشته باشند، و دوبروی رابطه‌ای برای طول موج وابسته به ذره به‌صورت زیر به‌دست آورد^{۱۱}

$$\lambda = \frac{h}{p} \quad (27-1)$$

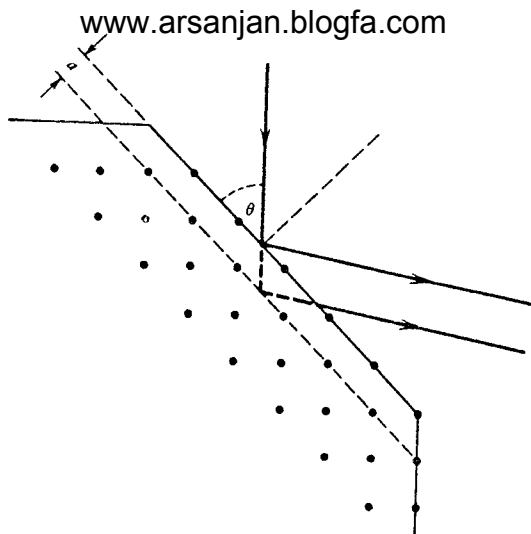
که در آن h ثابت پلانک و p تکانهٔ ذره است. کار دوبروی توجه بسیاری را به‌خود جلب کرد، و اشخاصی بر آن شدند تا با مشاهدهٔ پراش الکترون آن را تأیید کنند.^{۱۲} مشاهدهٔ تجربی این اثر در آزمایش‌های کلینتون جوزف دیویسون و گرمر صورت گرفت. دیویسون و گرمر دریافته‌اند که در پراکندگی الکترونها از سطح یک بلور، پراکندگی ممتازی در بعضی راستاها دیده می‌شود.

شکل ۸-۱ تصویر ساده شده‌ای است از آنچه اتفاق می‌افتد. در پراکندگی امواج از یک ساختار دوره‌ای، اختلاف فازی بین امواجی که از “صفحه‌های” پراکنندهٔ مجاور می‌آیند ایجاد می‌شود که مقدار آن $2a \sin \theta$ ($2\pi/\lambda$) است. اگر این اختلاف فاز برابر با $2\pi n$ باشد، که در آن n یک عدد درست است، تداخل سازنده روی می‌دهد، یعنی وقتی که

$$\lambda = \frac{2a \sin \theta}{n} \quad (28-1)$$

۱۱. این رابطه مانند رابطهٔ فوتون $\lambda = c/\nu = hc/h\nu = hc/E = h/p$ است.

۱۲. تاریخچهٔ تأیید حدس دوبروی را می‌توان در کتاب ماکس یامر، که در زیرنویس ۱ معرفی شد، یافت.

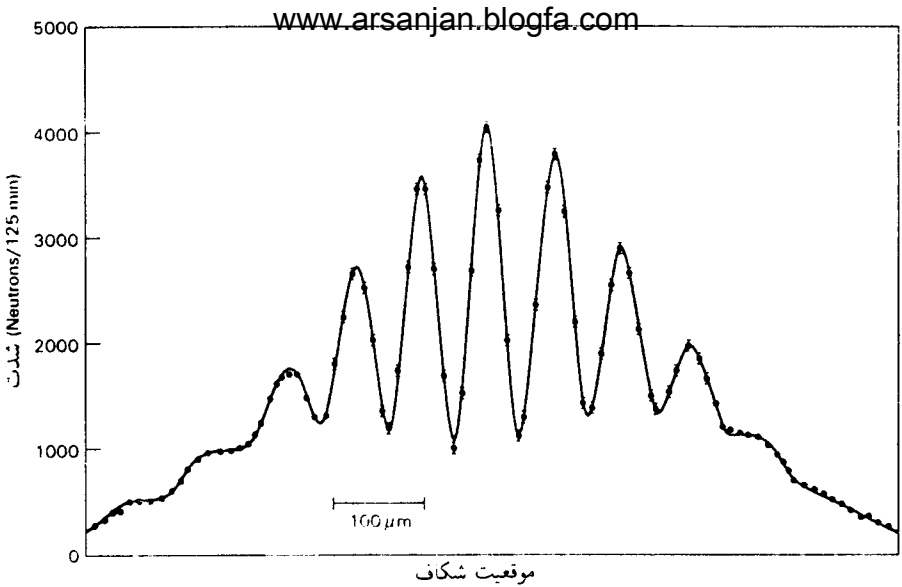


شکل ۸-۱ طرح کلی هندسه پراکندگی الکترون.

نقش تداخلی را که دیویسون و گمر در پراکندگی الکترون مشاهده کردند می‌توان با توجه به رابطه ۱-۲۷ به فرمول بالا مربوط کرد. این تأیید گام مهمی در تکوین مکانیک موجی بود. آزمایشهای پراش ذره از آن پس با باریکه‌های مولکول هیدروژن و هلیوم، و با نوترونهای کند (شکل ۸-۱)، صورت گرفته‌اند. پراش نوترون مخصوصاً در مطالعه ساختار بلورها مفید است. برای اینکه تصویری از نوع انرژی‌هایی که برای این آزمایشهای پراش لازم‌اند به دست آوریم، متذکر می‌شویم که فاصله‌های بلوری از مرتبه آنگستروم هستند. این ثابت توری در آزمایش دیویسون-گمر، که در آن از نیکل استفاده شد، برابر بود با $a = 2.15 \text{ \AA}$. بنابراین، λ از مرتبه 10^{-8} cm است، و در نتیجه $p = h/\lambda \cong 6.6 \times 10^{-19} \text{ gm cm/s}$. بدین ترتیب، انرژی جنبشی الکترون برابر است با $p^2/2m_e = (6.6 \times 10^{-19})^2 / (2 \times 9 \times 10^{-27}) \cong 2.5 \times 10^{-10} \text{ ergs}$ داریم

$$p^2/2m_n = (m_e/m_n) \times (\text{انرژی الکترون}) \cong (1/1840) \times 2.5 \times 10^{-10} \text{ ergs} \\ \cong 1.3 \times 10^{-13} \text{ ergs}$$

این انرژیها برحسب واحد مناسبتر الکترون ولت به ترتیب تقریباً برابر با 16 eV و 0.8 eV هستند. در یک مقیاس ماکروسکوپی، جنبه‌های موجی ذره‌ها را نمی‌توان مشاهده کرد. طول موج دوپروی برای قطره‌ای به اندازه 1 mm که با سرعت 1 cm/s حرکت می‌کند برابر است با 10^{-22} cm چون "اندازه" پروتون حدود 10^{-12} cm



شکل ۹-۱ نقش یراش دوشکافی با طول موج $185 \text{ \AA} \approx \lambda$ ۱۳

است، بدیهی است که هیچ راهی برای مشاهده خواص موجی جسمی که اندازه آن بسیار بیشتر از 10^{-7} cm است وجود ندارد. در مورد خواص ذره‌ای تابش، این کوچکی λ است که ویژگیهای کلاسیک را تعیین می‌کند، به این معنی که جنبه‌های دوگانه تنها وقتی ظاهر می‌شوند که حاصلضرب تکانه و اندازه از مرتبه λ باشد. خواهیم دید که صورتبندی مکانیک کوانتومی بین وضعیت r به خویر توصیف می‌کند.

اتم بور

الگوی سیاره‌ای رادرفورد

کنسرف پروبازی توسط هانری بکرل در سال ۱۸۹۶ ابزار لازم برای پرداختن به ساختار اتم را، که مکمل مطالعه گسیل تابش از اتمها بود، فراهم کرد. ارنست رادرفورد فیزیکدان پیشرو در مطالعه ساختار اتمی بود، و نخستین کسی بود که از ذراتی که در واپاشی پرتوزا گسیل می‌شوند به‌عنوان پرتابه استفاده کرد. آزمایشهایی که هانس گایگر و مارسدن در سال ۱۹۰۸ به راهنمایی او انجام دادند، و در آنها ذرات α به ورقه‌های نازک برخورد می‌کردند، نشان دادند که کسری از ذره‌های α

۱۳. اقباس مجاز از مقاله

که به طور شگفت‌انگیزی بزرگ بود در زاویه‌های بزرگ پراکنده می‌شوند، و این نتیجه با پیش‌بینیهای مبتنی بر الگوی اتمی تامسون کاملاً ناسازگار بود. در الگوی تامسون فرض شده است که الکترونها در توزیعی از بار مثبت که حجم تمام اتم را تشکیل می‌دهد غوطه‌ور هستند. الکترونها ذرات e^- را منحرف نمی‌کنند زیرا جرم آنها 10^4 بار کوچکتر است. بنابراین، بار مثبت باید باعث انحراف ذرات e^- باشد، و انحراف بزرگ‌زاویه ایجاد می‌کند که پتانسیل در سطح توزیع بار بزرگ باشد. این به نوبه خود ایجاد می‌کند که بار مثبت به ناحیه‌ای بسیار کوچکتر از حجم اتم محدود باشد. رادفورد الگوی جدیدی را پیشنهاد کرد که این داده‌ها را توجیه می‌کرد. در این الگو، تمام بار مثبت (و تقریباً تمام جرم) اتم در ناحیه کوچکی در وسط اتم متمرکز شده است. این هسته باردار مثبت الکترونهای باردار منفی را جذب می‌کند و چون قانون نیرو به صورت $1/r^2$ است الکترونها در مدارهای دایره‌ای یا بیضوی حول هسته حرکت می‌کنند.

این الگو اگرچه توجیه کمی مناسبی برای داده‌های پراکندگی ذرات e^- به دست می‌داد اما با دو مشکل حل‌نشده مواجه بود. از آنجا که این الگو مستلزم حرکتی دوره‌ای برای الکترونها بود نمی‌توانست طیفهای تابش ناشی از آنها را توضیح دهد، که ساختار همافنگ منتظره‌ای (در قیاس با ریسمان مرتعش) ندارند و ساختار آنها به صورت زیر است

$$\frac{1}{\lambda} = \text{const.} \left(\frac{1}{n_1^2} - \frac{1}{n_2^2} \right) \quad (29-1)$$

که در آن n_1 و n_2 اعداد درست هستند. این الگو همچنین سازوکاری برای پایداری آنها نداشت: یک الکترون در مدار دایره‌ای یا بیضوی دائماً شتاب دارد و بنابه نظریه الکترومغناطیس باید تابش کند. اتلاف مداوم انرژی با سقوط الکترونها به درون هسته در مدت زمان بسیار کوتاهی (از مرتبه 10^{-10} s) به رمبش اتم منجر می‌شود.

اصول موضوعه بور

نیلز بور در سال ۱۹۱۳، درست دو سال پس از پیشنهاد الگوی رادفورد، اصولی را وضع کرد که، با بریدن از نظریه کلاسیک، ساختار طیفی را توضیح می‌دادند و از مسئله پایداری اجتناب می‌کردند. بور فرض کرد که:

۱. الکترونها در مدارهایی حرکت می‌کنند که مقید به این شرط هستند که تکانه زاویه‌ای آنها مضربی درستی از $h/2\pi$ باشد، یعنی، برای مدارهای دایره‌ای به شعاع r ، سرعت v الکترونها محدود به رابطه زیر است

$$mvr = \frac{nh}{2\pi} \quad (30-1)$$

و علاوه بر این، الکترونها در این مدارها با اینکه شتاب دارند تابش نمی‌کنند. می‌گوییم این الکترونها در حالت‌های پایا هستند.

۲. الکترونها می‌توانند گذارهای ناپوسته‌ای از یک مدار مجاز به مدارهای مجاز پایین‌تر انجام دهند، و تغییر انرژی، $E - E'$ ، به صورت تابش با بسامد زیر ظاهر می‌شود

$$\nu = \frac{E - E'}{h} \quad (31-1)$$

اتم می‌تواند با جذب تابش الکترونهاي خود را وادار به گذار به مداری با انرژی بیشتر کند. اگر مدارهای دایره‌ای را در نظر بگیریم،^{۱۴} پیامدهای این اصول برای اتمهای تک‌الکترونی مانند هیدروژن، هلیوم یک بار یونیده، و غیره را می‌توان به آسانی به دست آورد. اگر بار هسته Ze ، بار الکترون $-e$ ، و شعاع مدار r باشد، و اگر جرم هسته را بینهایت بگیریم، از موازنه نیروی کولن با نیروی مرکزگیز داریم

$$\frac{Ze^2}{r^2} = \frac{mv^2}{r} \quad (32-1)$$

از ترکیب این رابطه با ۱-۳۰ به رابطه‌های زیر می‌رسیم

$$v = \frac{2\pi e^2 Z}{hn} \quad (33-1)$$

و

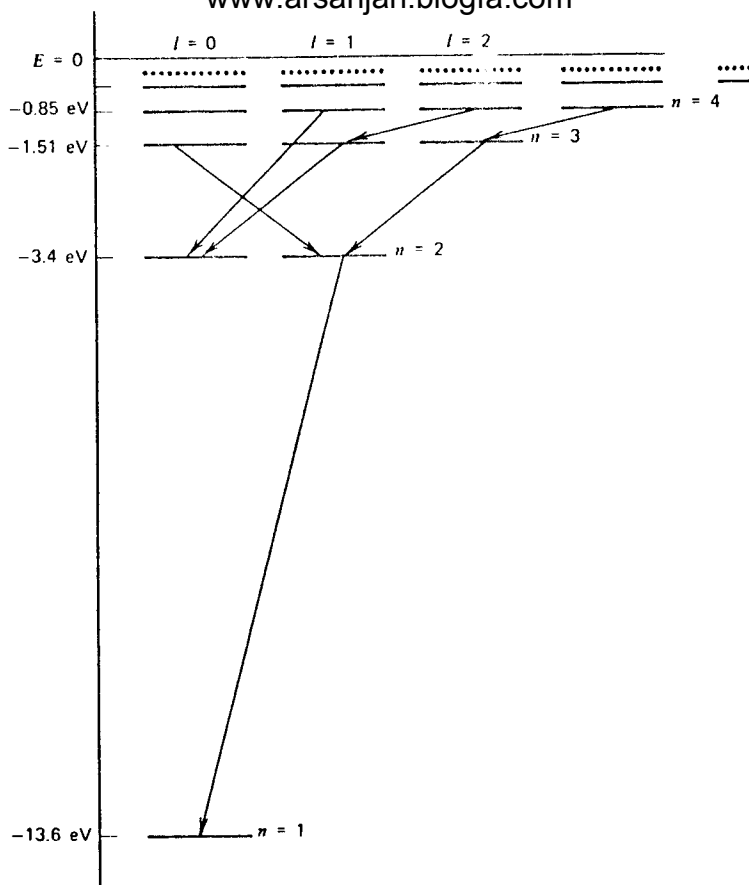
$$r = \frac{1}{4\pi^2} \frac{n^2 h^2}{Ze^2 m} \quad (34-1)$$

انرژی برابر است با

$$E = \frac{1}{2}mv^2 - \frac{Ze^2}{r} = -\frac{2\pi^2 e^4 Z^2 m}{h^2 n^2} \quad (35-1)$$

که از آن با توجه به اصل موضوعه ۲ بلافاصله رابطه کلی ۱-۲۹ به دست می‌آید (شکل ۱-۱۰). پیش از محاسبه این کمیتها برای به دست آوردن تصویری از اندازه آنها، بعضی نمادهای بسیار مفید را معرفی می‌کنیم. اولاً، در اکثر فرمولهای مکانیک کوانتومی $h/2\pi$ بیشتر از h ظاهر می‌شود،

۱۴. اگر مدارهای مجاز بیضوی باشند، ساختار بسیار غنی‌تری پدیدار می‌شود. این موضوع را در فصل ۱۲ بررسی می‌کنیم.



شکل ۱-۱۰ طیف اتم هیدروژن براساس الگوی اتمی بور. وجود اعداد کوانتومی l از بحث مدارهای بیضوی نتیجه می‌شود. خطهای واصل ترازهای انرژی بعضی از گذارهای اتمی غالب را نشان می‌دهند.

و از این رو آن را با یک نماد خاص نشان می‌دهیم:

$$\hbar = \frac{h}{2\pi} = 1.0545 \times 10^{-27} \text{ erg s} \quad (36-1)$$

ثانیاً، برای اینکه رابطه‌های مربوط به انرژی ساده بمانند، به جای ν از بسامد زاویه‌ای ω استفاده می‌کنیم:

$$\omega = 2\pi\nu \quad (37-1)$$

www.arsanjan.blogfa.com

بنابراین، ۱۳-۱ به صورت زیر در می‌آید

$$\omega = \frac{E - E'}{h} \quad (38-1)$$

همچنین، کوانتوم تابش حامل انرژی زیر است

$$E = h\omega \quad (39-1)$$

ثالثاً، گاهی مناسبتر است از "طول موج کاهیده" استفاده کنیم:

$$\lambda = \frac{h}{p} = \frac{c}{\omega} \quad (40-1)$$

بنابراین، رابطه دوبروی به صورت زیر نوشته می‌شود

$$p = \frac{h}{\lambda} \quad (41-1)$$

شرط کوانتس شدن زاویه‌ای بور به صورت زیر در می‌آید

$$mvr = nh \quad (n = 1, 2, 3, \dots) \quad (42-1)$$

و سرانجام، بهتر است "ثابت ساختار ریز" بدون بعد را به کار ببریم:

$$\alpha = \frac{e^2}{hc} = \frac{1}{137.0359895} \quad (43-1)$$

که تقریباً $1/137$ است. برحسب این کمیت‌های جدید، رابطه‌های ساده‌تر زیر را به دست می‌آوریم

$$\frac{v}{c} = \frac{Z\alpha}{n} \quad r = \frac{n^2}{Z\alpha} \frac{h}{mc} \quad (44-1)$$

و

$$E = -\frac{1}{2} mc^2 \frac{(Z\alpha)^2}{n^2} \quad (45-1)$$

توجه کنید که شعاع، که بعد طول دارد، برحسب h/mc یعنی طول موج کاهیده کامپتون الکترون، و انرژی برحسب mc^2 نوشته شده است. در تمام محاسبه‌های اتمی، نتیجه‌های مربوط به انرژی، طول، زمان، و تکانه را به ترتیب برحسب mc^2 ، h/mc ، h/mc^2 و mc خواهیم نوشت. تکانه زاویه‌ای همیشه به صورت مضربهای h ظاهر می‌شود.

اکنون بعضی از کمیت‌های حاصل از نظریه بور را محاسبه می‌کنیم. با توجه به اینکه

$$\begin{aligned} mc^2 &\cong 0.51 \times 10^6 \text{ eV} \\ &\cong 0.51 \text{ MeV} \\ \frac{h}{mc} &\cong 3.9 \times 10^{-11} \text{ cm} \\ \frac{h}{mc^2} &\cong 1.3 \times 10^{-21} \text{ s} \end{aligned} \quad (46-1)$$

نتیجه می‌گیریم که

(الف) شعاع کوچکترین مدار بور (با $n = 1$) برابر است با

$$a_0 = \frac{137}{Z} \frac{h}{mc} = \frac{0.53}{Z} \text{ \AA} \quad (47-1)$$

(ب) انرژی بستگی الکترون در کوچکترین مدار بور، یعنی انرژی لازم برای بردن الکترون به حالت $E = 0$ (متناظر با $n = \infty$) برابر است با

$$E = \frac{1}{4} mc^2 (Z\alpha)^2 = 13.6 Z^2 \text{ eV} \quad (48-1)$$

بنابراین، به عنوان مثال، گذار از حالت $n = 1$ به حالت $n = 2$ برای هیدروژن ($Z = 1$) متناظر است با تغییر انرژی $10.2 \text{ eV} = 13.6(1 - 1/4) \text{ eV}$. بسامد تابش گسیل شده را می‌توان از تبدیل این مقدار به آرگ محاسبه کرد، اما بهتر است این محاسبه را به صورت زیر انجام دهیم

$$\begin{aligned} \omega &= \frac{mc^2 \alpha^2 \left(1 - \frac{1}{4}\right)}{2h} = \frac{3\alpha^2}{8} \frac{1}{1.3 \times 10^{-21}} \text{ rad/s} \\ &\cong 1.5 \times 10^{16} \text{ rad/s} \end{aligned}$$

طول موج متناظر با آن برابر است با

$$\lambda = 2\pi \frac{c}{\omega} = \frac{16\pi}{3\alpha^2} \frac{h}{mc} \\ \cong 1200 \text{ \AA}$$

که در ناحیه فرابنفش قرار دارد.

موفقیت نظریه بور در اتم‌های هیدروژن‌گونه انگیزه مهمی شد برای تحقیق بیشتر روی "اتم بور". اما با وجود دستاوردهای فوق‌العاده بور و دیگران، واضح بود که این نظریه موقتی است. نظریه بور چیزی در این باره که الکترون‌ها کی باید جهش‌های خود را انجام دهند نمی‌گوید؛ همچنین، قاعده کوانتس به دستگاه‌های دوره‌ای محدود می‌شد. بیان کلی‌تر زومرفلد و ویلسون، یعنی

$$\int_{\text{مسیر بسته}} p \, dq = nh \quad (49-1)$$

که در آن p تکانه مربوط به مختصه q است، در بررسی هیچ مسئله‌ای، بجز آنچه به ترازهای اتمی هیدروژن مربوط بود، مفید واقع نشد.

کوانتس تکانه زاویه‌ای در وضعیت‌های دیگر نیز صادق است. کاربرد آن در مدارهای بیضوی تصویر کاملتری از طیف اتم‌های هیدروژن‌گونه به دست داد، و در آزمایش‌های اشترن و گرلاخ در سال ۱۹۲۲ مستقیماً مشاهده شد.

اصل تطابق

نیز بور از این فکر که نظریه کوانتومی او باید هر جا نظریه کلاسیک کارایی دارد در آن ادغام شود بهره فراوان گرفت. این فکر به صورت اصل تطابق فرمولبندی شد. به زبان فنی، این اصل می‌گوید وقتی "اعداد کوانتومی" بزرگ باشند، مثلاً به ازای n بزرگ در اتم بور، حد کلاسیک باید احراز شود. البته همینکه یک نظریه سازگار برای پدیده‌های کوانتومی ساخته شد خود به خود فیزیک کلاسیک را به عنوان یک حد در بر دارد، اما این اصل در راهنمایی به حدسه‌های نظری بسیار مفید بوده است، و همین اصل بود که هاینبرگ را به مرحله‌ای رهنمون شد که توانست پرش غول‌آسای خود را به سمت مکانیک کوانتومی انجام دهد. برای اینکه نشان دهیم چگونه اصل تطابق برای الگوی اتمی بور صادق است، بسامد تابش گسیل شده را وقتی الکترون از مداری با عدد کوانتومی $n+1$ ، که در آن n بسیار بزرگ است، به مداری با عدد کوانتومی n "جهش" می‌کند در نظر می‌گیریم. این زمینه مناسبی برای جستجوی حد کلاسیک است، زیرا تکانه زاویه‌ای nh واقعاً بسیار بزرگتر از h است. اگر لحاظ کلاسیک، الکترونی که با سرعت v در مدار دایره‌ای حرکت می‌کند باید با بسامد

$$\nu_{cl} = \frac{v}{2\pi r} = \frac{Z\alpha c}{n} \frac{Z\alpha mc}{2\pi n^2 \hbar} = \frac{(Z\alpha)^2 mc^2}{2\pi \hbar} \frac{1}{n^2} \quad (50-1)$$

از طرف دیگر، بسامد تابش وابسته به این گذار، بنابه ۱-۳۱، برابر است با

$$\nu = \frac{\omega}{2\pi} = \frac{1}{2\pi \hbar} \frac{mc^2}{2} (Z\alpha)^2 \left[\frac{1}{n^2} - \frac{1}{(n+1)^2} \right] \quad (51-1)$$

که به ازای $n \gg 1$ به ν_{cl} میل می‌کند. توجه کنید که این نتیجه بسیار مهم است، زیرا تنها بسامد وابسته به گذار $n \rightarrow n+1$ است که با بسامد اصلی کلاسیک متناظر است. تابش وابسته به جهش $n \rightarrow n+2$ ، حتی در حد n بزرگ، همتای کلاسیک ندارد. در فصل ۲۱ خواهیم دید که در مکانیک کوانتومی برای "مدارهای دایره‌ای" گذارهای $n \rightarrow n+1$ وجود ندارند.

مسئله ذره-موج

چنانکه از ملاحظات زیر می‌توان دید، این واقعیت که تابش هم خواص موجی و هم خواص ذره‌ای از خود نشان می‌دهد مشکل مفهومی عمیقی را به وجود می‌آورد.

۱. از بحث اثر فوتوالکتریک، به خصوص همبستگی تعداد الکترونها گسیل شده با شدت تابش، استنباط می‌شود که شدت تابش الکترومغناطیسی با تعداد فوتونهای گسیل شده از چشمه متناسب است. اکنون یک آزمایش ذهنی^{۱۵} را در نظر می‌گیریم که در آن تابش توسط یک دستگاه دوشکافی پراشیده می‌شود. فرض کنید شدت چشمه را آن قدر کم می‌کنیم که، به طور متوسط، در هر ساعت تنها یک فوتون به پرده برسد. توجه کنید که باید با فوتونهای کامل سروکار داشته باشیم: اثر کامپتون و اثر فوتوالکتریک نشان می‌دهند که نمی‌توان یک فوتون را به دو قسمت با بسامد ω اما انرژی کمتر از $\hbar\omega$ تقسیم کرد. کاهش شدت تابش فرودی نمی‌تواند تأثیری بر نقش پراش کلاسیک داشته باشد، زیرا این کاهش در واقع تنها مدت زمان انتقال تعداد زیادی فوتون از چشمه به پرده را افزایش می‌دهد. فوتونهایی که با فاصله یک ساعت به پرده می‌رسند مسلماً نمی‌توانند همبسته باشند، و بنابراین می‌توان این فرایند را از نوع یک فوتون در هر نوبت در نظر گرفت. واضح است که یک فوتون، به عنوان ذره، مسلماً از یکی از دو شکاف می‌گذرد. اگر به دستگاه آزمایش ذهنی خود یک دیدبان کوچک اضافه کنیم که اعلام کند فوتون از شکاف "۱" عبور کرده است یا از شکاف

۱۵. آزمایش ذهنی آزمایشی است که می‌توان آن را به تصور درآورد، یعنی آزمایشی که با قوانین شناخته فیزیک سازگار است اما از لحاظ فنی نمی‌توان آن را انجام داد. به عنوان مثال، اندازه‌گیری شتاب ناشی از گرانی در سطح خورشید یک آزمایش ذهنی است، در حالی که اندازه‌گیری انتقال دوپلری برای نور خورشید در سفینه‌ای که با دو برابر سرعت نور حرکت می‌کند بی‌معنی است.

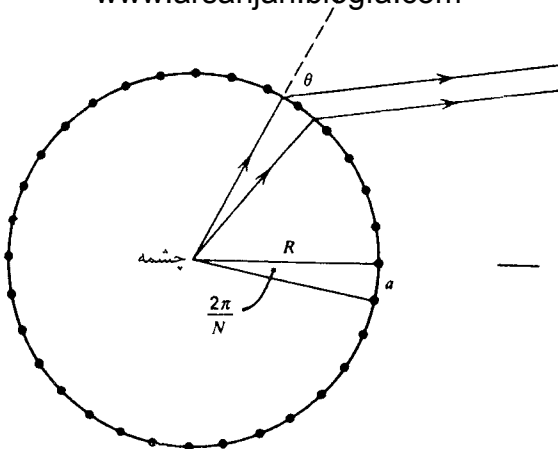
“۲”، می‌توانیم فوتونها را به دو دسته، وابسته به دو شکاف، تقسیم کنیم. برای دسته اول، می‌توانستیم شکاف ۲ را ببندیم، زیرا فوتون از آن نمی‌گذشت؛ برای دسته دوم، می‌توانستیم شکاف ۱ را ببندیم. بنابراین، اگر آزمایش را با یک شکاف بسته در نیمی از زمان، و شکاف بسته دیگر در نیمه دیگر زمان، تکرار کنیم انتظار داریم نقش روی پرده، مثلاً یک صفحه عکاسی، همانی باشد که قبلاً به دست آوردیم. اما چنین نیست، زیرا در آزمایش دوم نقش تداخل به دست نمی‌آید. در نتیجه، یک ناسازگاری وجود دارد که منشأ آن در این فرض است که حضور دیدبان، که نشان می‌دهد فوتون از کدام شکاف گذشته است، تأثیری بر آزمایش ندارد. در بحث اصل عدم قطعیت هایزنبرگ خواهیم دید که عمل دیدبان نقش تداخل را از میان می‌برد، و در نتیجه ناسازگاری نداریم. در این مرحله، کافی است متذکر شویم که اگر دیدبان وجود نداشته باشد هر فوتون مانند یک موج عمل می‌کند، و این پرسش که فوتون از کدام شکاف گذشته است بی‌معنی است. البته هنوز می‌توان برای شدت تابش در هر شکاف یک مقدار میانگین تعریف کرد: این تعریف الزاماً به معنای آن است که برای فوتونهای منفرد تنها می‌توان از احتمال عبور از این یا آن شکاف صحبت کرد.

۲. برای درک عبور تابش قطبیده از یک تحلیلگر، باز هم باید از مفهوم احتمال استفاده کنیم. می‌دانیم اگر یک باریکه تابش پس از عبور از یک قطبشگر دارای شدت I_0 باشد این شدت پس از عبور باریکه از تحلیلگری که محور آن با محور قطبشگر زاویه α می‌سازد به $I_0 \cos^2 \alpha$ کاهش می‌یابد. این تضعیف را برحسب فوتونهای منفردی که تقسیم‌ناپذیر هستند تنها به این صورت می‌توان توضیح داد که بگوییم فوتون با احتمال عبوری که از ساختمان دستگاه یعنی از زاویه α پیروی می‌کند از دستگاه می‌گذرد یا نمی‌گذرد.

۳. به همین ترتیب، تابش از یک ستاره دور را در نظر بگیرید. این ستاره چشمه امواج کروی ناشی از برانگیختگی میدان الکترومغناطیسی است که با سرعت c منتشر می‌شوند. اما برحسب فوتونهای منفرد، بی‌معنی است که فرض کنیم یک فوتون معین از این چشمه روی کره‌ای به شعاع ct (که در آن t از لحظه‌ای حساب می‌شود که فوتون گسیل شده است) گسترده شده است، زیرا جمع شدن این فوتون در یک نقطه از صفحه عکاسی یا شبکیه چشم، اگر “واقعاً” اتفاق می‌افتاد، خلاف عقل سلیم بود. اما می‌توان این توزیع کروی را به عنوان تعیین‌کننده احتمال یافتن یک فوتون در یک زاویه فضایی معین تعبیر کرد.

۴. گاهی ممکن است یک آزمایش معین را هم به زبان ذره‌ای و هم به زبان موجی تعبیر کرد، اما ارتباط میان این دو توصیف مکمل یک جنبه غیرکلاسیک در جای دیگری وارد می‌کند. دیکی و ویتکه^{۱۶} آزمایش ذهنی زیر را ابداع کرده‌اند (شکل ۱-۱۱). یک قفس استوانه‌ای در نظر بگیرید که میله‌های آن به‌طور منظم و با فاصله زیر از یکدیگر قرار گرفته‌اند

$$a = 2\pi \frac{R}{N}$$



شکل ۱۱-۱ مقطع عرضی "قفس" دیکی-ویتکه، که میله‌های هم‌فاصله و کمیتهای هندسی مربوط به آنرا نشان می‌دهد.

که در آن شعاع استوانه و N تعداد میله‌ها است. تابش گسیل شده از چشمه‌ای روی محور استوانه را در نظر بگیرید. میله‌ها به صورت توری پراش عمل می‌کنند. اگر باریکه در زاویه θ نسبت به راستای اولیه‌اش خارج شود، شدت به شرطی بیشینه است که زاویه و طول موج در رابطه زیر صدق کنند

$$a \sin \theta = n\lambda \quad (n = 1, 2, 3, \dots)$$

یعنی

$$\lambda = \frac{2\pi R \sin \theta}{Nn} \quad (52-1)$$

همچنین می‌توان قله شدت را با این فرض تعبیر کرد که ذرات در زاویه θ از میله‌های قفس پراکنده می‌شوند. تکانه منتقل شده به قفس $p \sin \theta$ است و در نتیجه تکانه زاویه‌ای منتقل شده به قفس برابر است با

$$L = pR \sin \theta \quad (53-1)$$

اما اگر از رابطه دوبروی، $p = 2\pi h/\lambda$ استفاده کنیم به دست می‌آوریم

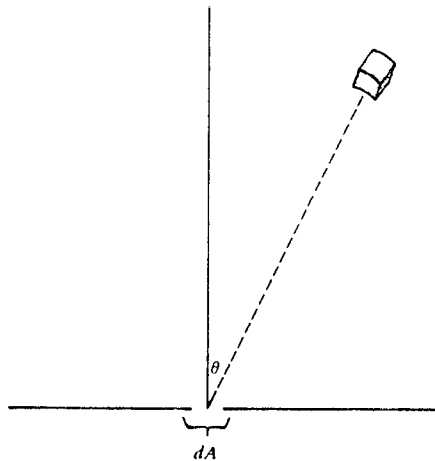
$$L = \frac{2\pi h N n}{2\pi R \sin \theta} \cdot R \sin \theta = N n h \quad (54-1)$$

یعنی، تکانه زاویه‌ای کوانتیده است! عامل N ، چنانکه بعداً روشن خواهد شد، به‌این واقعیت مربوط می‌شود که اگر قفس را به‌اندازه زاویه $2\pi/N$ بچرخانیم تغییری در وضعیت آن داده نمی‌شود. در سال ۱۹۲۵ نظریه جدید مکانیک کوانتومی با کارهای ورنر هایزنبرگ، ماکس بورن، پاسکال یوردان، اروین شرودینگر، و پل دیراک آغاز شد. این نظریه راهی بود برای آشتی مفاهیم متعارض به‌بهای کنار گذاشتن مقداری از تفکرات کلاسیک. یکی از لذتهای دانشجوی فیزیک بودن همین توانایی پی بردن به این نظریه زیبا و پیشرفتهای عظیمی است که این نظریه در درک ما از خواص ماده به‌وجود آورده است.

مسائل

۱-۱ رابطه ۱-۱ میان چگالی انرژی در کاواک و توان گسیل را ثابت کنید.

[راهنمایی: برای این کار، از شکل زیر استفاده کنید. بزرگی جزء حجم dV برابر است با $d\phi \, d\theta \, \sin \theta \, r^2 \, dr$ که در آن r فاصله از مبدأ (واقع در روزه‌ای به مساحت dA)، θ زاویه با محور قائم، و ϕ زاویه سمتی حول محور عمود بر روزه است. انرژی موجود در این جزء حجم برابر است با dV ضرب در چگالی انرژی. تابش همسانگرد است، بنابراین آنچه خارج می‌شود حاصلضرب زاویه فضایی $4\pi r^2 \cos \theta / dA$ در انرژی است. از این رابطه باید روی زاویه‌های ϕ و θ ، و اگر شارش انرژی در زمان Δt مورد نظر باشد، روی r از 0° تا $c\Delta t$ — فاصله‌ای که تابش در این بازه می‌پیماید — انتگرال گرفت.]



۲-۱ با استفاده از ۱-۱ و ۱۲-۱، فرمولی برای آهنگ کل تابش در واحد سطح جسم سیاه به‌دست آورید. فرض کنید خورشید مانند جسم سیاه تابش می‌کند. شعاع خورشید $R_{\odot} = 7 \times 10^8 \text{ cm}$ ، فاصله متوسط خورشید از زمین $d_{\odot} = 1.5 \times 10^{12} \text{ cm}$ ، و ثابت خورشیدی، یعنی مقدار انرژی

که از خورشید وقتی بالای سر است به زمین می‌رسد، برابر است با $1.4 \times 10^6 \text{ erg/cm}^2 \text{ s}$. با توجه به این اطلاعات، دمای سطح خورشید را برآورد کنید.

۳-۱ با استفاده از $\lambda - 1$ ، چگالی انرژی در بازه طول موج $\Delta\lambda$ را به دست آورید. با استفاده از این جواب، مقدار $\lambda = \lambda_{(\max)}$ را، که به ازای آن این چگالی بیشینه است، محاسبه کنید. نشان دهید $\lambda_{(\max)}$ به صورت b/T است، و b را به دست آورید. با استفاده از برآورد دمای سطح خورشید، $\lambda_{(\max)}$ را برای تابش خورشیدی تعیین کنید.

[راهنمایی: در محاسبه b به جواب معادله $\Delta e^{-x} = (\Delta - x)$ نیاز دارید. این معادله را به روش نموداری یا روش تقریبهای متوالی، که در آن ابتدا قرار می‌دهید $x = \Delta - \epsilon$ (با $\epsilon \ll 1$)، حل کنید.]

۴-۱ نور فرابنفش با طول موج 3500 \AA به سطح پتاسیم می‌تابد. بیشینه انرژی فوتوالکترونها 1.6 eV است. مقدار تابع کار پتاسیم را محاسبه کنید؟

۵-۱ بیشینه انرژی فوتوالکترونها ناشی از آلومینیم برای تابش 2000 \AA برابر با 2.3 eV و برای تابش 2580 \AA برابر با 0.9 eV است. با استفاده از این داده‌ها، ثابت پلانک و تابع کار آلومینیم را به دست آورید.

۶-۱ یک فوتون 100 MeV به یک پروتون ساکن برخورد می‌کند. بیشترین اتلاف انرژی ممکن برای این فوتون چقدر است؟

۷-۱ یک فوتون 100 keV با یک الکترون ساکن برخورد می‌کند و در زاویه 90° پراکنده می‌شود. انرژی فوتون بعد از پراکندگی چقدر است؟ راستای پس‌زدن الکترون و انرژی جنبشی آن را برحسب الکترون ولت به دست آورید.

۸-۱ الکترونی با انرژی 100 MeV با فوتونی به طول موج $3 \times 10^7 \text{ \AA}$ (مربوط به زمینه جهانی تابش جسم سیاه) برخورد می‌کند. بیشترین انرژی که این الکترون از دست می‌دهد چقدر است؟

۹-۱ باریکه‌ای از پرتوهای x توسط الکترونها ساکن پراکنده می‌شود. اگر طول موج پرتوهای x که در زاویه 60° نسبت به محور باریکه پراکنده شده‌اند 35 \AA باشد، انرژی پرتوهای x باریکه را به دست آورید.

۱۰-۱ یک هسته نیتروژن (با جرم تقریبی $14 \times$ جرم پروتون) فوتونی با انرژی 6.2 MeV گسیل می‌کند. اگر این هسته در ابتدا ساکن باشد، انرژی پس‌زنی هسته (برحسب الکترون ولت) چقدر است؟

۱۱-۱ بلوری با فاصله صفحات 3.2 \AA را در نظر بگیرید. مقدار انرژی (الف) الکترونها و (ب) هسته‌های هلیوم (با جرم تقریبی $4 \times$ جرم پروتون) چقدر باید باشد تا حداکثر سه بیشینه تداخل را مشاهده کنیم؟

۱۲-۱ کوچکترین فاصله تفکیک‌پذیر برای میکروسکوپ از مرتبه بزرگی طول موج به کار رفته است. در یک میکروسکوپ الکترونی، مقدار انرژی الکترونها چقدر باید باشد تا فاصله‌های (الف) 150 \AA و (ب) 5 \AA را تفکیک کند؟

۱۳-۱ اگر فرض کنیم که در یک حالت مانای اتم هیدروژن الکترون در مداری دایره‌ای قرار می‌گیرد که محیط آن مضرب درستی از طول موج الکترون است، می‌توان نتایج نظریه بور را به دست آورد. این کار را انجام دهید.

۱۴-۱ می‌خواهیم فاصله میان صفحه‌های مجاور در یک بلور را اندازه بگیریم. اگر پرتوهای x با طول موج 5\AA در زاویه 5° آشکارسازی شوند، این فاصله چقدر است؟ بیشینه دوم در چه زاویه‌ای مشاهده می‌شود؟

۱۵-۱ با استفاده از قاعده‌های کوانتس بور، ترازهای انرژی یک نوسانگر هماهنگ را، که برای آن انرژی $\frac{p^2}{2m} + m\omega^2 r^2$ یعنی نیرو $m\omega^2 r$ است، به دست آورید. تنها مدارهای دایره‌ای را در نظر بگیرید. مانسته فرمول ری‌دبرگ را تعیین کنید. نشان دهید که اصل تطابق برای تمام مقادیر عدد کوانتومی n که در کوانتس تکانه زاویه‌ای به کار می‌رود صادق است.

۱۶-۱ با استفاده از قاعده‌های کوانتس بور، حالت‌های انرژی را به‌ازای پتانسیل زیر محاسبه کنید

$$V(r) = V_0 \left(\frac{r}{a} \right)^k$$

که در آن k بسیار بزرگ است. نمودار این پتانسیل را ترسیم کنید و نشان دهید مقادیر انرژی به $E_n \simeq Cn^2$ میل می‌کنند.

۱۷-۱ در نظریه کلاسیک، توان، تابش شده توسط بار شتابدار e با فرمول کلاسیک زیر داده می‌شود

$$P = \frac{2}{3} \frac{e^2}{c^3} a^2 \text{ erg/s}$$

که در آن a شتاب است. در مدار دایره‌ای $a = v^2/r$. توان تابش شده توسط یک الکترون در مدار بور مربوط به عدد کوانتومی n را محاسبه کنید. وقتی n بسیار بزرگ است، این توان باید بنابه اصل تطابق با نتیجه درست مکانیک کوانتومی سازگار باشد.

۱۸-۱ آهنگ واپاشی برای الکترون در یک مدار را می‌توان به صورت توان تابیده P تقسیم بر انرژی گسیل شده در واپاشی تعریف کرد. با استفاده از رابطه انرژی تابیده در نظریه بور و رابطه P از مسئله ۱۷، مقدار "تطابق" آهنگ واپاشی را وقتی الکترون یک گذار از مدار n به مدار $n-1$ انجام می‌دهد به دست آورید. مقدار این آهنگ واپاشی را برای $n=2$ محاسبه کنید. (این مقدار با نتیجه واقعی نظریه کوانتومی دقیقاً توافق ندارد، زیرا اصل تطابق برای مقادیر کوچک عدد کوانتومی صادق نیست.) آهنگ واپاشی را برای گذار از مدار n به مدار m - n به دست آورید. طول عمر را، که مساوی با معکوس آهنگ واپاشی است، تعیین کنید.

۱۹-۱ انرژی کلاسیک برای یک چرخنده تخت برابر است با

$$E = L^2/2I$$

که در آن L تکانه زاویه‌ای و I کساور لختی است. با استفاده از قاعده‌های کوانتس بور، ترازهای انرژی این چرخنده را به دست آورید. اگر شرط بسامد بور برای تابش در گذارهای بین حالت‌های n_1 و n_2 برقرار باشد، نشان دهید (الف) اصل تطابق صادق است، و (ب) این اصل ایجاب می‌کند که تنها گذارهای $\Delta = \pm 1$ روی دهند.

۱-۲ مولکول‌ها گاهی مانند چرخنده‌ها رفتار می‌کنند. اگر طیفهای دورانی با تابشی مشخص شوند که طول موج آن از مرتبه 10^7Å است و این مشخصه برای برآورد فاصله‌های بین اتمی در مولکول مانند H_2 به کار رود، چه نوع فاصله‌هایی را (برحسب Å) به دست می‌آوریم.

مراجع

مباحث این فصل را می‌توان در اکثر کتابهای درسی فیزیک جدید ملاحظه کرد. برای بحثهای بدیتر مراجعه کنید به

Eyvind H Wichmann, *Quantum Physics*, McGraw-Hill, New York, 1969.

Richard P Feynman, Robert B Leighton, and Matthew Sands, *The Feynman Lectures on Physics*, Addison-Wesley, Reading, Mass, (1963).

برای آشنایی با کارهای بور در تکوین و تکامل نظریه کوانتومی مراجعه کنید به

Abraham Pais, *Niels Bohr's Times in Physics, Philosophy and Polity*, Oxford University Press, New York, 1991.

بسته‌های موج و رابطه‌های عدم قطعیت

مکانیک کوانتومی امکان درک تمام پدیده‌های مورد بحث در فصل ۱ را فراهم می‌آورد، و برای بررسی خواص اتمها، مولکولها، هسته‌های اتمی، و توده‌های آنها ضروری است. ما از طریق معادله شرودینگر و تعبیر مناسب جوابهای آن به مطالعه مکانیک کوانتومی می‌پردازیم.^۱ برای به دست آوردن معادله شرودینگر از فیزیک کلاسیک راهی وجود ندارد، زیرا این معادله خارج از قلمرو فیزیک کلاسیک قرار دارد. در واقع، اروین شرودینگر معادله خود را با یک حدس عالی، مبتنی بر نظرات دو بروی، به دست آورد. ما این حدس را به صورت نسبتاً متفاوتی، با سازش خواص موجی و ذره‌ای الکترونها، توجیه می‌کنیم. پس از ارائه معادله شرودینگر برای ذره آزاد، رابطه عدم قطعیت بین مکان و تکانه را با استفاده از بعضی از خواص امواج به دست می‌آوریم، و مضامین آن را مورد بحث قرار می‌دهیم.

بسته‌های موج جایگزیده

تصور بیکر بندی ذراتی که به نحوی رفتار موجی از خود نشان می‌دهند مشکل است. به همین دلیل بود که آزمایشهای کلاسیک پراش فرنل و یانگ باعث پذیرش همگانی نظریه موجی نور شدند. از

۱. رهیافت دیگری را می‌توان در کتاب زیر یافت

طرف دیگر، می‌توان برای امواجی که بسیار جایگزیده هستند پیکربندی‌هایی را تصور کرد. (غرش رعد مثالی از برهم‌نهمش امواج است که در یک مکان معین نسبت به زمان جایگزیده است.) این "بسته‌های موج" جایگزیده را می‌توان از برهم‌نهمش امواج با بسامدهای مختلف به طریقی به‌دست آورد که خارج از یک منطقه فضایی معین یکدیگر را به‌طور تقریباً کامل از بین ببرند. ابزارهای فنی این کار شامل انتگرالهای فوریه‌اند که در پیوست الف خلاصه‌ای از آنها برای خواننده‌ای که با رشته فوریه آشنایی دارد و بر دقت ریاضی تأکید نمی‌کند بیان شده است. به‌عنوان مثال، تابعی را در نظر بگیرید که با رابطه زیر تعریف می‌شود

$$f(x) = \int_{-\infty}^{\infty} dk g(k) e^{ikx} \quad (1-2)$$

قسمت حقیقی $f(x)$ با $\int_{-\infty}^{\infty} dk g(k) \cos kx$ داده می‌شود که برهم‌نهمش خطی امواجی با طول موج $\lambda = 2\pi/k$ است، زیرا به‌ازای یک k ی معین وقتی x به $x + 2\pi/k$ تغییر می‌کند هر موج مجدداً تکرار می‌شود. برای روشن شدن مطلب، $g(k)$ را به‌صورت زیر انتخاب می‌کنیم

$$g(k) = e^{-\alpha(k-k_0)^2} \quad (2-2)$$

انتگرال ۱-۲ را می‌توان محاسبه کرد. با $k' = k - k_0$ داریم

$$\begin{aligned} f(x) &= \int_{-\infty}^{\infty} dk g(k) e^{i(k-k_0)x} e^{ik_0 x} \\ &= e^{ik_0 x} \int_{-\infty}^{\infty} dk' e^{ik'x} e^{-\alpha k'^2} \\ &= e^{ik_0 x} \int_{-\infty}^{\infty} dk' e^{-\alpha[k' - (ix/2\alpha)]^2} e^{-(x^2/4\alpha)} \end{aligned}$$

در گام آخر عمل کامل کردن مجذور را انجام داده‌ایم. می‌توان نوشت $q = k' - (ix/2\alpha)$ و باز هم انتگرال را روی محور حقیقی نگه داشت.^۲ با استفاده از

$$\int_{-\infty}^{\infty} dk e^{-\alpha k^2} = \sqrt{\frac{\pi}{\alpha}} \quad (3-2)$$

به‌دست می‌آوریم

$$f(x) = \sqrt{\frac{\pi}{\alpha}} e^{ik_0 x} e^{-(x^2/4\alpha)} \quad (4-2)$$

۲. برای خواننده‌ای که با نظریه متغیرهای مختلط آشنا باشد توجه این کار چندان مشکل نیست.

$e^{ik \cdot x}$ را "عامل فاز" می‌نامیم، زیرا $|e^{ik \cdot x}|^2 = 1$. بنابراین، مجذور قدرمطلق $f(x)$ برابر است با

$$|f(x)|^2 = \frac{\pi}{\alpha} e^{-x^2/\alpha} \quad (5-2)$$

این تابع در $x = 0$ به اوج می‌رسد، و برحسب اندازه α بسته موجی را نشان می‌دهد که پهن (α) بزرگ) یا بسیار باریک (α کوچک) است. بنابراین، می‌توانیم $|f(x)|^2$ را نمایش یک ذره در نظر بگیریم.

پهنای این بسته موج را می‌توان $2\sqrt{2\alpha}$ گرفت، زیرا تابع به $1/e$ مقدار قلّه خود کاهش می‌یابد. پهنای $|f(x)|^2$ و $|g(k)|^2$ همبسته‌اند. در مثال بالا، مجذور $g(x)$ تابعی است که حول k_0 به اوج می‌رسد و پهنای آن $2/\sqrt{2\alpha}$ است. در اینجا یک دوجانبگی وجود دارد: تابعی که برحسب x شدیداً جایگزیده است برحسب k گسترده است، و برعکس. حاصلضرب این دو "پهنا" برابر است با

$$\Delta k \Delta x \sim \frac{2}{\sqrt{2\alpha}} \cdot 2\sqrt{2\alpha} = 4 \quad (6-2)$$

مقدار دقیق ثابت عددی اهمیت ندارد؛ آنچه اهمیت دارد این است که این مقدار به α بستگی ندارد و از مرتبه واحد است. این یک ویژگی کلی توابعی است که تبدیلهای فوری یکدیگرند (شکل ۱-۲). این نتیجه را با فرمول زیر نشان می‌دهیم

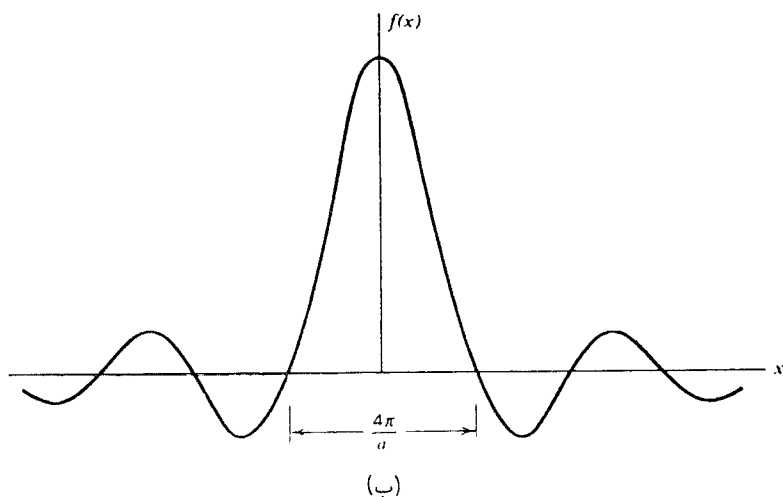
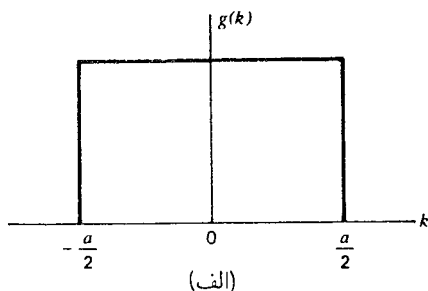
$$\Delta x \Delta k \gtrsim O(1) \quad (7-2)$$

که در آن Δx و Δk "پهنا"های دو توزیع هستند، و منظور از $O(1)$ عددی است که می‌تواند به توابعی بستگی داشته باشد که با آنها سروکار داریم اما اختلاف چندانی با ۱ ندارد. کوچک کردن Δx و Δk با هم غیرممکن است. این یک ویژگی کلی بسته‌های موج است، و به زودی خواهیم دید که پیامدهای بسیار عمیقی برای مکانیک کوانتومی دارد.

انتشار بسته‌های موج

در رابطه ۱-۲ تابع $f(x)$ از برهم‌نهی پیوسته‌ای از امواج ساده e^{ikx} ساخته شده است. این بسته موج چگونه در زمان منتشر می‌شود؟ پاسخ این سؤال به چگونگی انتشار تک‌تک امواج بستگی دارد. موج تخت ساده را عموماً به صورت زیر خواهیم نوشت (این نامگذاری به این دلیل است که تغییر فضایی موج تنها در راستای x است و به دو مختصه دیگر y و z بستگی ندارد)

$$e^{ikx - i\omega t} \quad (8-2)$$



شکل ۱-۲ رابطه میان بسته موج و تبدیل فوری آن برای یک بسته موج مربعی شکل.

در اینجا $\omega = 2\pi\nu$ بسامد زاویه‌ای است. رابطه کمیت k با طول موج عبارت است از $k = 2\pi/\lambda$. بنابراین، می‌توان موج ساده بالا را به صورت

$$e^{2\pi i[(x/\lambda) - \nu t]} \quad (۹-۲)$$

نیز نوشت. برای یک موج نور که در خلأ منتشر می‌شود، بین ν و λ رابطه ساده $\nu = c/\lambda$ برقرار است، و در نتیجه موج ساده در این مورد به صورت زیر در می‌آید

$$e^{2\pi i(x-ct)/\lambda} = e^{ik(x-ct)}$$

اکنون اگر برهم‌نهی این امواج ساده با دامنه $g(k)$ را در نظر بگیریم در زمان t داریم

$$f(x, t) = \int_{-\infty}^{\infty} dk g(k) e^{ik(x-ct)} = f(x - ct) \quad (10-2)$$

این بسته موج همان شکلی را دارد که در $t = 0$ داشت، بجز اینکه اکنون به جای جایگزیدگی در $x = 0$ در $x - ct = 0$ جایگزیده است. بنابراین، بسته موج نور با سرعت نور c در خلا بدون واپسش منتشر می‌شود.

اما ما با امواجی کار داریم که باید توصیف‌کننده ذرات باشند، و معلوم نیست رابطه $\omega = kc$ در این مورد صادق باشد. به طور کلی، ω تابعی از k است، و از این رو می‌نویسیم

$$f(x, t) = \int dk g(k) e^{ikx - i\omega(k)t} \quad (11-2)$$

فعلاً نمی‌دانیم تابع $\omega(k)$ چه صورتی دارد، اما می‌کوشیم آن را با این شرط تعیین کنیم که $f(x, t)$ شبیه یک ذره کلاسیک باشد که آزادانه حرکت می‌کند.

بسته موجی را در نظر می‌گیریم که در فضای k ، حول مقدار k_0 ، شدیداً جایگزیده است. این بسته موج متناظر با انتخاب تابعی مانند $2-2$ یا $1-1$ بزرگ است. البته این بسته موج در فضای x دقیقاً جایگزیده نیست، اما محاسبه ما آسانتر می‌شود، و علاوه بر این می‌خواهیم حدسهای هوشمندانه‌ای بزنیم. چون سهم عمده انتگرال $11-2$ بیشتر در اطراف $k = k_0$ است، $\omega(k)$ را حول k_0 بسط می‌دهیم و فرض می‌کنیم $\omega(k)$ برحسب k به سرعت تغییر نمی‌کند. بنابراین، می‌توان نوشت

$$\omega(k) \approx \omega(k_0) + (k - k_0) \left(\frac{d\omega}{dk} \right)_{k_0} + \frac{1}{2} (k - k_0)^2 \left(\frac{d^2\omega}{dk^2} \right)_{k_0} \quad (12-2)$$

جمله اول مقدار ثابتی، (مستقل از k) دارد. در جمله دوم، کمیت $(d\omega/dk)|_{k_0}$ سرعت گروه^۳ است که انتشار بسته موج را توصیف می‌کند. با نمادنگاری

$$\left(\frac{d\omega}{dk} \right)_{k_0} = v_g \quad (13-2)$$

۳. سرعت گروه مفهومی است که در هر کتابی که با انتشار موج سروکار دارد مورد بحث قرار می‌گیرد. به عنوان مثال، مراجعه کنید به

$$\frac{1}{2} \left(\frac{d^2 \omega}{dk^2} \right)_{k_0} = \beta \quad (۱۴-۲)$$

و با $k' - k_0 = k'$ وابستگی زمانی این بسته موج به صورت زیر در می‌آید

$$\begin{aligned} f(x, t) &= e^{ik_0 x - i\omega(k_0)t} \int_{-\infty}^{\infty} dk' e^{-\alpha k'^2} e^{ik'(x-v_g t)} e^{-ik'^2 \beta t} \\ &= e^{ik_0 x - i\omega(k_0)t} \int_{-\infty}^{\infty} dk' e^{ik'(x-v_g t)} e^{-(\alpha + i\beta t)k'^2} \end{aligned} \quad (۱۵-۲)$$

این درست همان انتگرالی است که به ۴-۲ منجر شد و در آن $x - v_g t$ به جای x و $\alpha + i\beta t$ به جای α نشسته است. بنابراین، داریم

$$f(x, t) = e^{i[k_0 x - \omega(k_0)t]} \left(\frac{\pi}{\alpha + i\beta t} \right)^{1/2} e^{-[(x-v_g t)^2 / 2(\alpha + i\beta t)]} \quad (۱۶-۲)$$

مجذور قدرمطلق این تابع به صورت زیر است

$$|f(x, t)|^2 = \left(\frac{\pi^2}{\alpha^2 + \beta^2 t^2} \right)^{1/2} e^{-[\alpha(x-v_g t)^2 / 2(\alpha^2 + \beta^2 t^2)]} \quad (۱۷-۲)$$

که بسته موجی را نشان می‌دهد که قله آن با سرعت v_g حرکت می‌کند، اما پهنای ثابتی ندارد: کمیتی که در $t = 0$ برابر با α بود اکنون $\alpha + (\beta^2 t^2 / \alpha)$ شده است، یعنی بسته موج پهن می‌شود. چون پهنای متناسب است با

$$\left(\alpha + \frac{\beta^2 t^2}{\alpha} \right)^{1/2} = \sqrt{\alpha} \left(1 + \frac{\beta^2 t^2}{\alpha^2} \right)^{1/2}$$

اگر α بزرگ باشد، یعنی اگر بسته موج در زمان اولیه از لحاظ فضایی بزرگ باشد، آهنگ پهن شدن کوچک خواهد بود.

از بسته موج تا معادله شرودینگر

مهمترین نتیجه بحث بالا این است که اگر بخواهیم ۱۱-۲ ذره‌ای با تکانه p و انرژی جنبشی $p^2/2m$ را نشان دهد باید داشته باشیم

$$v_g = \frac{d\omega}{dk} = \frac{p}{m} \quad (۱۸-۲)$$

علاوه بر این، اگر انرژی ذره را برابر با حاصلضرب بسامد زاویه‌ای وابسته به آن و h بگیریم:

$$E = h\omega \quad (۱۹-۲)$$

که از رابطه کوانتومی برای تابش استنباط شده است و در نتیجه

$$\omega = \frac{p^2}{2mh} \quad (۲۰-۲)$$

آنگاه سازگاری ایجاب می‌کند رابطه زیر برقرار باشد

$$k = \frac{2\pi}{\lambda} = \frac{p}{h} \quad (۲۱-۲)$$

که دوبروی اولین بار آن را به روش کم و بیش مشابهی به دست آورد. رابطه ۱۱-۲ را می‌توان برحسب p به صورت زیر نوشت^۴

$$\psi(x, t) = \frac{1}{\sqrt{2\pi h}} \int dp \phi(p) e^{i(px - Et)/h} \quad (۲۲-۲)$$

بسته موج $\psi(x, t)$ یک جواب عمومی معادله دیفرانسیل جزئی زیر است

$$\begin{aligned} ih \frac{\partial \psi(x, t)}{\partial t} &= \frac{1}{\sqrt{2\pi h}} \int dp \phi(p) E e^{i(px - Et)/h} \\ &= \frac{1}{\sqrt{2\pi h}} \int dp \phi(p) \frac{p^2}{2m} e^{i(px - Et)/h} \\ &= \frac{h^2}{2m} \frac{\partial^2 \psi(x, t)}{\partial x^2} \end{aligned} \quad (۲۳-۲)$$

۴. عامل عددی جلواتگرال را وقتی معنایی فیزیکی به $\phi(p)$ نسبت می‌دهیم توجیه خواهیم کرد.

و این به شرطی است که، مانند قبل، حرکت "ذره" را در یک ناحیهٔ بدون پتانسیل، که در آن $E = p^2/2m$ ، توصیف کنیم. این معادله، و تعمیم آن به مورد ذرهٔ متحرک در یک پتانسیل، چکیدهٔ مهم بحثهایی است که قبلاً مطرح کردیم. باید تأکید کنیم که این معادله حاکی از یک حدس است: هیچ توجیهی بر اساس فیزیک کلاسیک برای تعویض ω با E/\hbar و تعویض عدد موج k با p/\hbar وجود ندارد.

هنوز هم با مشکل پهن شدن بسته‌های موج روبه‌رو هستیم. اگر بستهٔ گاوسی ۱۷-۲ را در نظر بگیریم، می‌بینیم که هر قدر هم α بزرگ باشد زمانی خواهد رسید که این پهن‌شدگی قابل توجه می‌شود. اما این نتیجه مغایر تجربه است، که به روشنی نشان می‌دهد که، به عنوان مثال، هسته‌ها که بسیار ریز هستند طی مدت 3×10^9 سال (10^{17} ثانیه) تغییری نکرده‌اند. در فصل ۳ خواهیم دید که مفهوم احتمال، که در فصل ۱ به آن اشاره شد، در اینجا دخالت می‌کند، و پهن‌شدگی واقعاً به این احتمال فزاینده مربوط می‌شود که ذره دور از جایی باشد که در $t = 0$ جایگزیده بود.

رابطه‌های عدم قطعیت

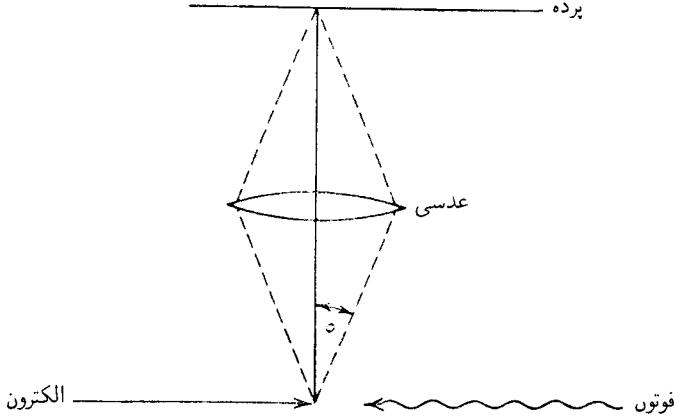
یکی از مهمترین مشاهد‌های کیفی که در بحث بستهٔ موج داشتیم رابطهٔ دوجانبگی میان پهنای در فضاها x و p است:

$$\Delta k \Delta x \gtrsim 1 \quad (24-2)$$

با ضرب این رابطه در \hbar و استفاده از $\hbar k = p$ ، رابطهٔ عدم قطعیت هایزنبرگ را به دست می‌آوریم:

$$\Delta p \Delta x \gtrsim \hbar \quad (25-2)$$

چون پهنای معرف ناحیه‌ای در فضای x یا فضای تکانه است که محتمل است ذره در آن باشد، رابطهٔ ۲۵-۲ نشان می‌دهد اگر سعی کنیم بستهٔ موج بسیار جایگزیده‌ای در فضای x بسازیم آنگاه، برخلاف آنچه در فیزیک کلاسیک مسلم فرض می‌شود، نسبت دادن یک تکانه کاملاً معین به آن غیرممکن می‌شود. به همین نحو، بستهٔ موجی که با تکانه‌ای مشخص می‌شود که در یک محدودهٔ باریک تعریف شده است باید از لحاظ فضایی بسیار پهن باشد. این محدودیتی است که مکانیک کوانتومی بر استفاده از مفاهیم کلاسیک برای توصیف یک دستگاه فیزیکی تحمیل می‌کند. مفاهیم کلاسیک مکان و تکانه مستقل از یکدیگر هستند: آنها به درجه‌های آزادی متفاوتی مربوط می‌شوند. در مکانیک کوانتومی، چنانکه در فصل ۶ با تفصیل بیشتری خواهیم دید، مکان و تکانهٔ یک دستگاه ویژگیهای مکمل یکدیگر هستند و نظریه هیچ آزمایشی را ممکن نمی‌داند که در آن بتوان هر دو را همزمان تعیین کرد. کوچکی \hbar باعث می‌شود که مفاهیم متداول فیزیک کلاسیک



شکل ۲-۲ طرح کلی میکروسکوپ هایزنبرگ برای اندازه‌گیری مکان الکترون.

تنها برای دستگاه‌های میکروسکوپی کارایی نداشته باشند. به عنوان مثال، برای ذره غباری به جرم 10^{-2} و سرعت 10^4 cm/s ، عدم قطعیت یک قسمت در میلیون در حاصلضرب آنها ایجاب می‌کند که $\Delta p \sim 10^{-6} \text{ gcm/s}$ و در نتیجه $\Delta x \sim 10^{-21} \text{ cm}$ ، که 10^8 بار کوچکتر از شعاع پروتون است! این وضعیت برای الکترونی که در یک مدار بور حرکت می‌کند صادق نیست. اگر بگیریم $\Delta p \sim p \sim mc\alpha$ ، آنگاه $\Delta x \sim h/mc\alpha$ که از مرتبه بزرگی شعاع مدارهای بور است. اکنون چند آزمایش ذهنی را بررسی می‌کنیم که در آنها به تفصیل نشان خواهیم داد چگونه دوگانگی موج-ذره نمی‌گذارد رابطه ۲-۲۵ نقض شود.

(الف) اندازه‌گیری مکان الکترون (میکروسکوپ هایزنبرگ). ترتیب آزمایش شکل ۲-۲ را در نظر بگیرید که مقصود از آن اندازه‌گیری مکان الکترون است. الکترونها در باریکه‌ای با تکانه کاملاً معین p_x در جهت مثبت محور x حرکت می‌کنند. میکروسکوپ (عدسی+برده) برای این است که با مشاهده نوری که الکترون آن را پراکنده می‌کند بینیم الکترون کجا قرار دارد. نور را در جهت منفی x می‌تابانیم. یک الکترون خاص یک فوتون خاص را پراکنده می‌کند و این فوتون وارد میکروسکوپ می‌شود. توان تفکیک میکروسکوپ، یعنی دقتی که با آن می‌توان موقعیت الکترون را تعیین کرد، بنا به اپتیک موجی با رابطه زیر داده می‌شود

$$\Delta x \sim \frac{\lambda}{\sin \phi} \quad (26-2)$$

که در آن λ طول موج نور است. به نظر می‌رسد که با کوچک کردن λ و یا بزرگ کردن $\sin \phi$ ، می‌توانیم Δx را هر اندازه بخواهیم کوچک کنیم. اما اکنون نشان می‌دهیم که این کار تنها به بهای از دست دادن اطلاع درباره مؤلفه x تکانه الکترون امکانپذیر است. نظریه کوانتومی به ما می‌گوید که آنچه روی برده پشت عدسی ثبت می‌شود در واقع فوتونهای منفردی هستند که به این علت به آنجا

می‌رسند که توسط الکترون‌ها پراکنده شده‌اند. راستای حرکت فوتون پس از پراکندگی در محدوده زاویه‌ای که روی گشودگی تشکیل می‌شود نامعین است. در نتیجه، بزرگی تکانه الکترون پس‌زده عدم قطعیتی دارد که عبارت است از

$$\Delta p_x \sim 2 \frac{h\nu}{c} \sin \phi \quad (27-2)$$

بنابراین،

$$\Delta p_x \Delta x \sim 2 \frac{h\nu}{c} \sin \phi \frac{\lambda}{\sin \phi} \sim 4\pi h \quad (28-2)$$

آیا می‌توان این مشکل را حل کرد؟ هر چه باشد، راستای فوتون با تکانه آن همبسته است، و اگر بتوان به نحوی پس‌زنی پرده را اندازه گرفت می‌توان تکانه فوتون (و در نتیجه تکانه الکترون) را بهتر مشخص کرد. این درست است، اما همینکه میکروسکوپ را به عنوان قسمتی از دستگاه "مشهود" در نظر گرفتیم باید نگران موقعیت آن باشیم زیرا تکانه آن باید مشخص شود. اما میکروسکوپ هم باید از اصل عدم قطعیت تبعیت کند، و اگر بخواهیم تکانه آن را مشخص کنیم مکان آن نامعین‌تر خواهد شد. وسیله مشاهده "کلاسیک" نهایی همیشه با این نامعینی روبه‌رو خواهد بود.

(ب) آزمایش دوشکافی. در فصل ۱ دیدیم که نقش تداخلی که در عبور الکترونها^۵ از دو شکاف مشاهده می‌شود منطقی با توانایی ما برای دانستن اینکه الکترون از کدام شکاف عبور می‌کند ناسازگار است، زیرا این آگاهی ایجاب می‌کند که این نقش نتیجه برهم‌نهی الکترونها^۵ باشد که از این یا آن شکاف آمده‌اند. اما این برهم‌نهی نمی‌تواند نقش تداخل به وجود آورد. می‌توان با استفاده از اصل عدم قطعیت نشان داد که "دیدبانی" که شکاف گذر را شناسایی می‌کند نقش تداخل را خراب خواهد کرد. فرض کنید فاصله شکافها از یکدیگر a و فاصله شکافها تا پرده d باشد. شرط تداخل سازنده عبارت است از

$$\sin \theta = n \frac{\lambda}{a} \quad (29-2)$$

و در نتیجه فاصله بین بیشینه‌های مجاور روی پرده برابر است با $d \sin \theta_{n+1} - d \sin \theta_n = d \lambda / a$. دیدبانی را در نظر بگیرید که مکان یک الکترون را درست پشت شکاف با دقت $\Delta y < a/2$ تعیین می‌کند، یعنی نشان می‌دهد الکترون از کدام شکاف گذشته است (شکل ۲-۳). در این کار، دیدبان باید تکانه‌ای در راستای y (موازی با پرده شکافها) به الکترون بدهد که مقدار آن به اندازه

$$\Delta p_y > \frac{2h}{a} \quad (30-2)$$

۵. البته ما درباره فوتونها بحث کردیم، اما همین مشکل برای الکترونها، که آنها نیز پراشیده می‌شوند، وجود دارد.